



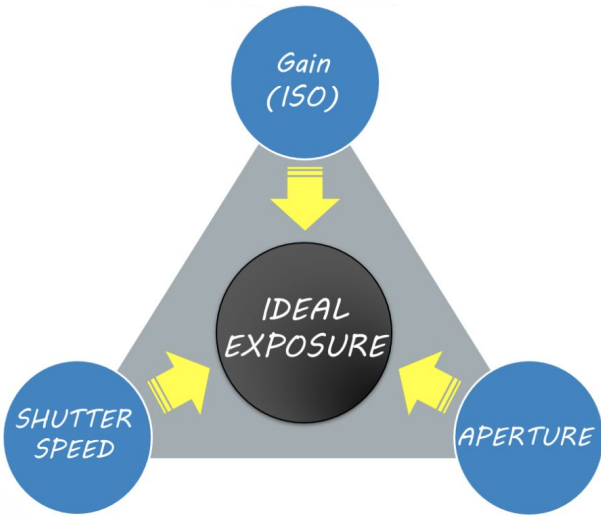
Semillero de Investigación “Hands - on” Computer Vision

A close-up photograph of a Sony camera lens. The lens barrel is dark with a blue and orange gradient. A reflection of the Earth's horizon is visible on the glass element. The Sony logo is at the top, followed by 'Z 616'. The text 'SESSION 2: DE FOTONES A PIXELES' is overlaid in large, bold, white letters.

SESSION 2: DE FOTONES A PIXELES

Contenidos

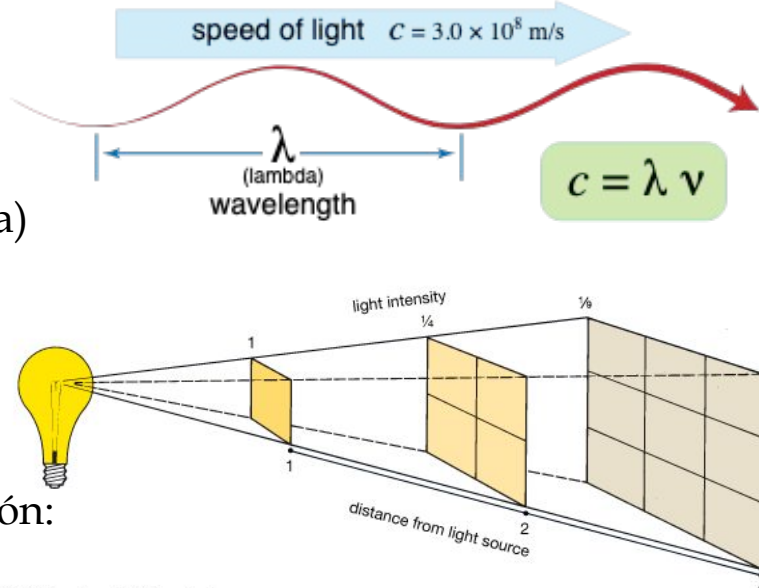
1. La cámara oscura (pinhole camera)
2. Formación de imágenes (FOV, AOV, DoF)
3. Triángulo de la exposición
4. Pipeline de procesamiento de imágenes
5. Transformaciones de imágenes



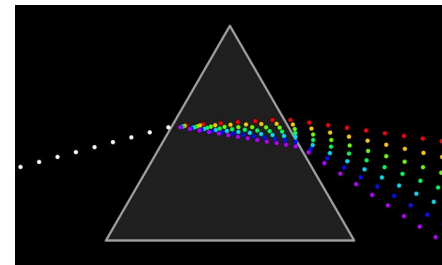
1. Cámara oscura

La luz

1. La luz viaja **muy rápido** ($c = 300.000 \text{ km/s}$)
2. La luz tiene una **doble naturaleza** (onda y/o partícula)
3. Viaja en **línea recta** (menor distancia, parsimonia)
4. Varía en **intensidad** (inverse square law)
5. **Interactúa** con la materia (cambia velocidad y dirección: **reflexión, refracción, absorción, difracción**, etc.)
6. Tiene muchos **colores** (dispersión)
7. Contiene **energía e información** (radio, celulares, fibra óptica, etc.)

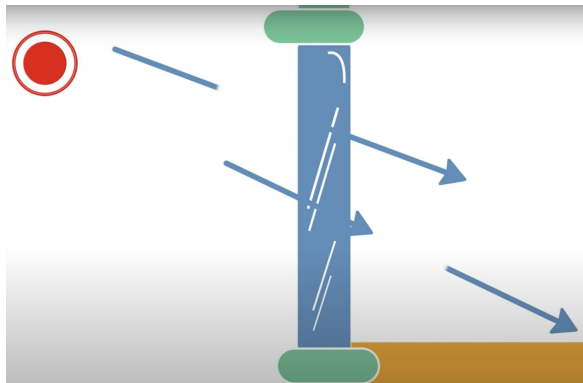


© 2011 Encyclopædia Britannica, Inc.

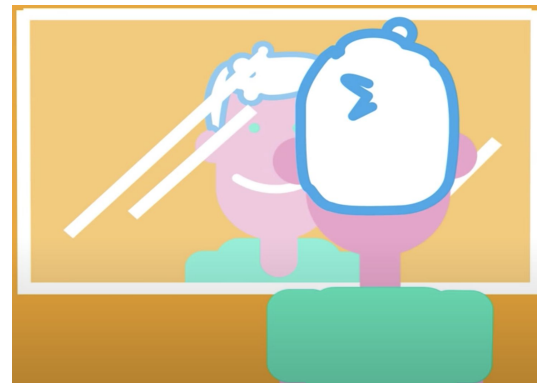


Propagación de la luz

Transmisión



Reflexión



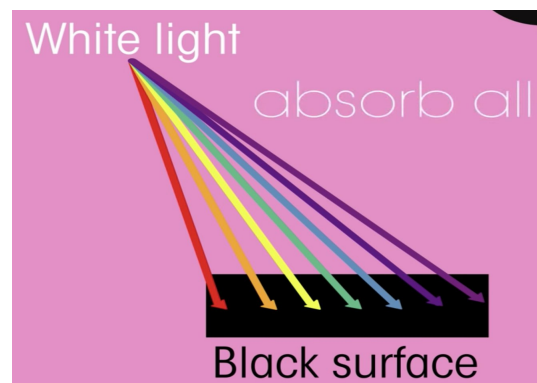
Refracción



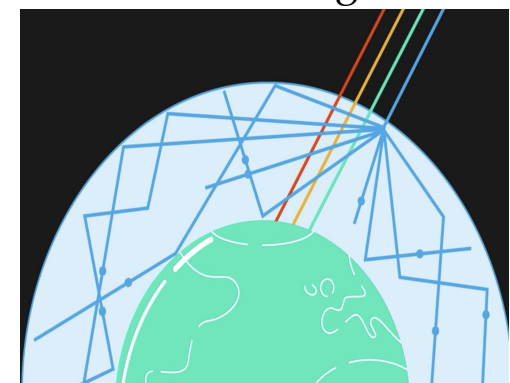
Difracción



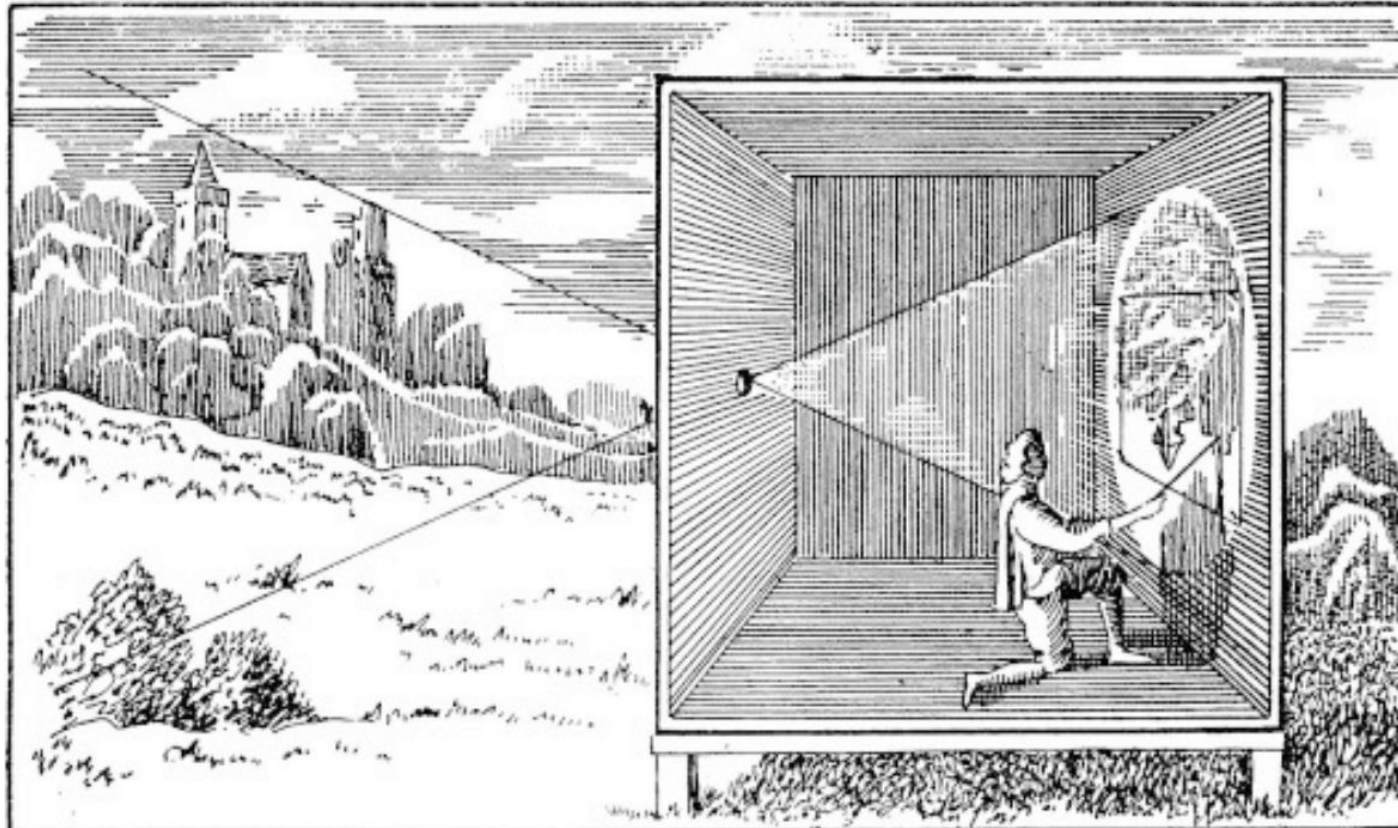
Absorción



Scattering



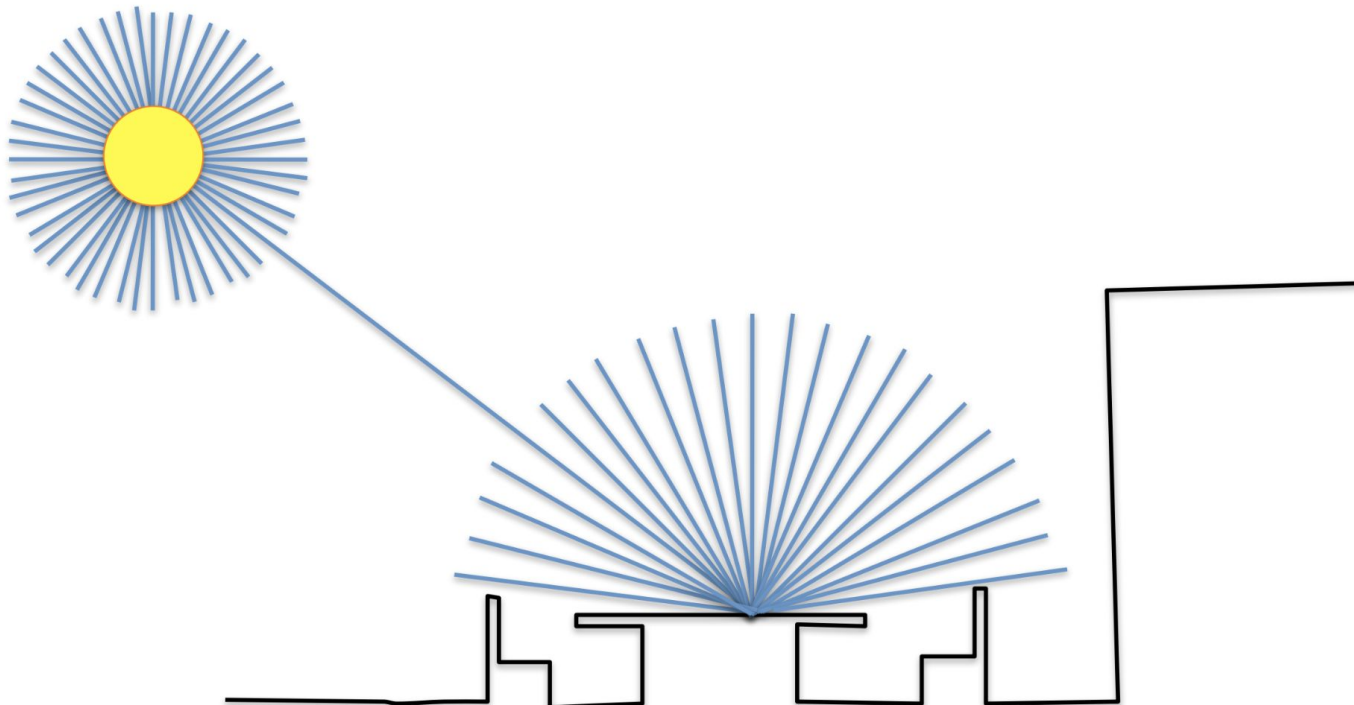
Pinhole Camera / Camera Obscura



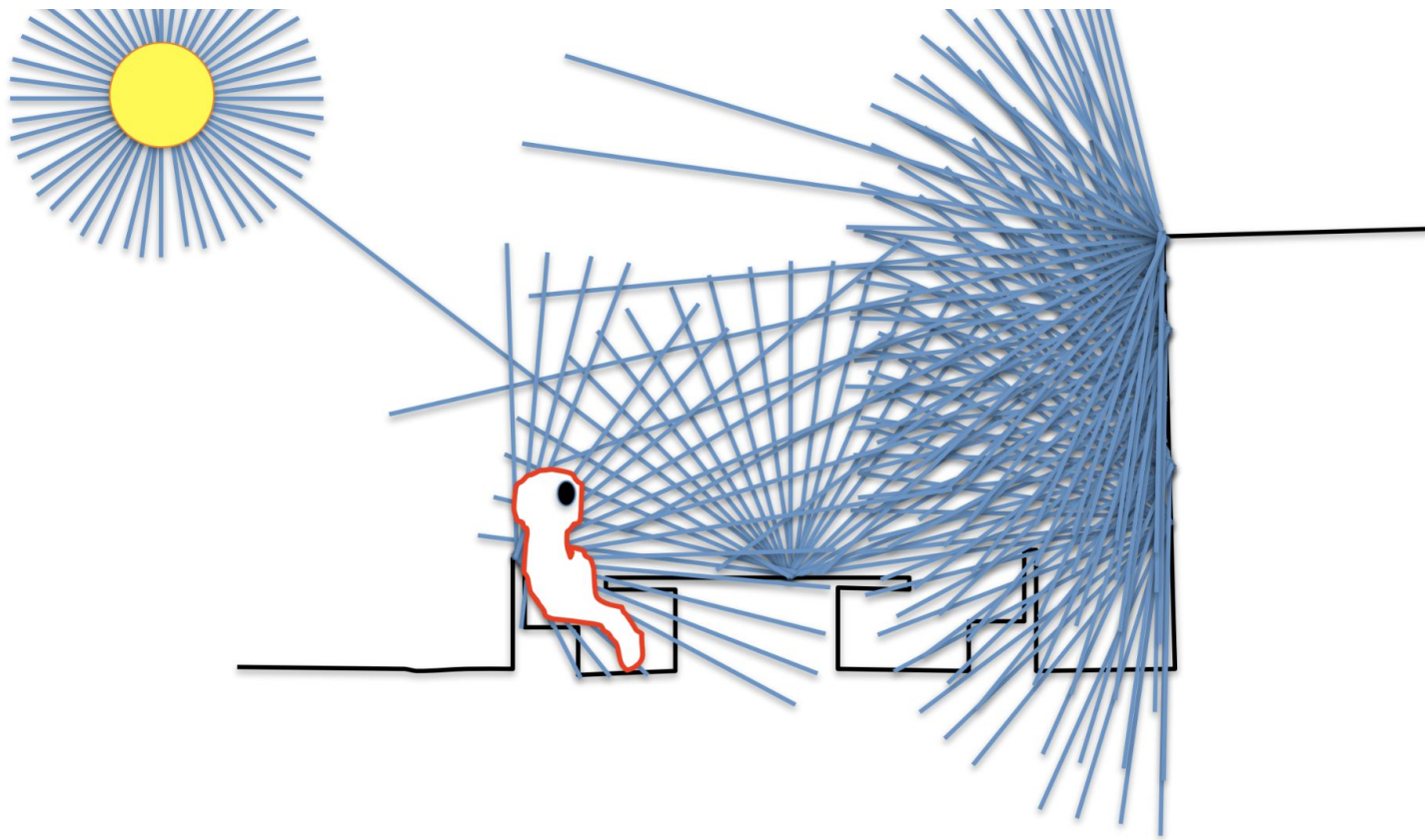
Mo-Ti (Chinese Philosopher) 470-390 BC

Demo: Camera obscura

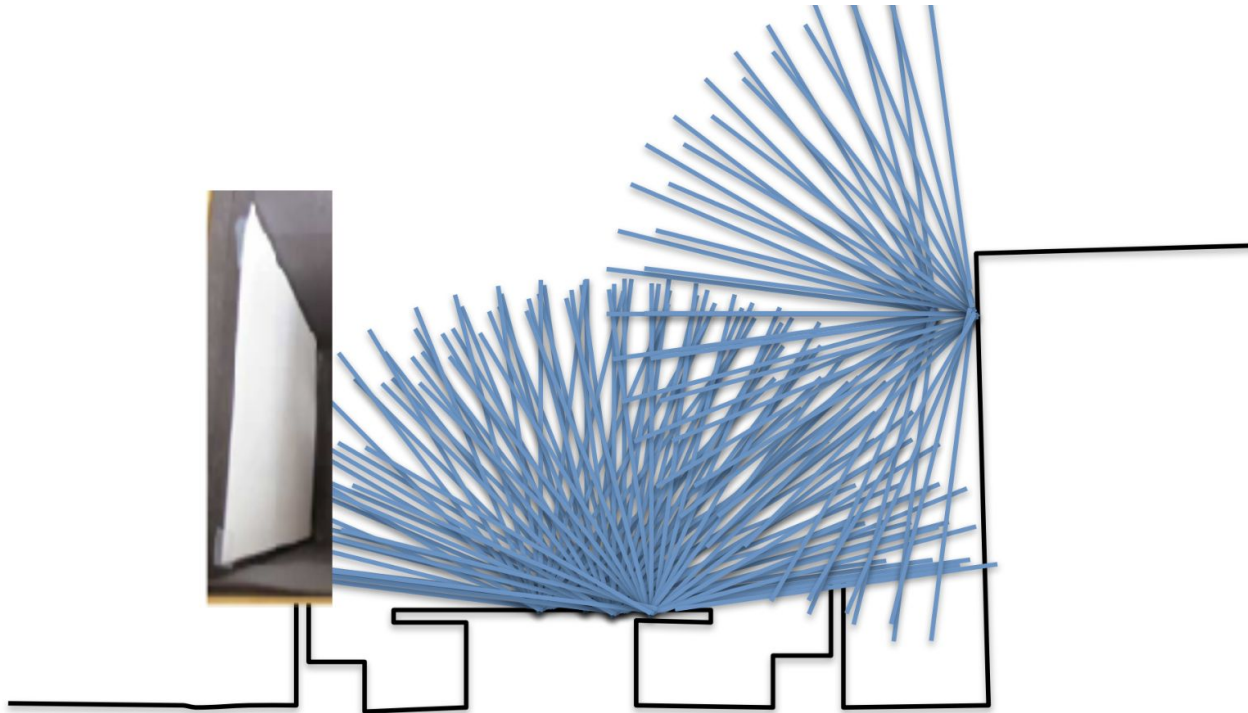
Propagación de la luz



Propagación de la luz



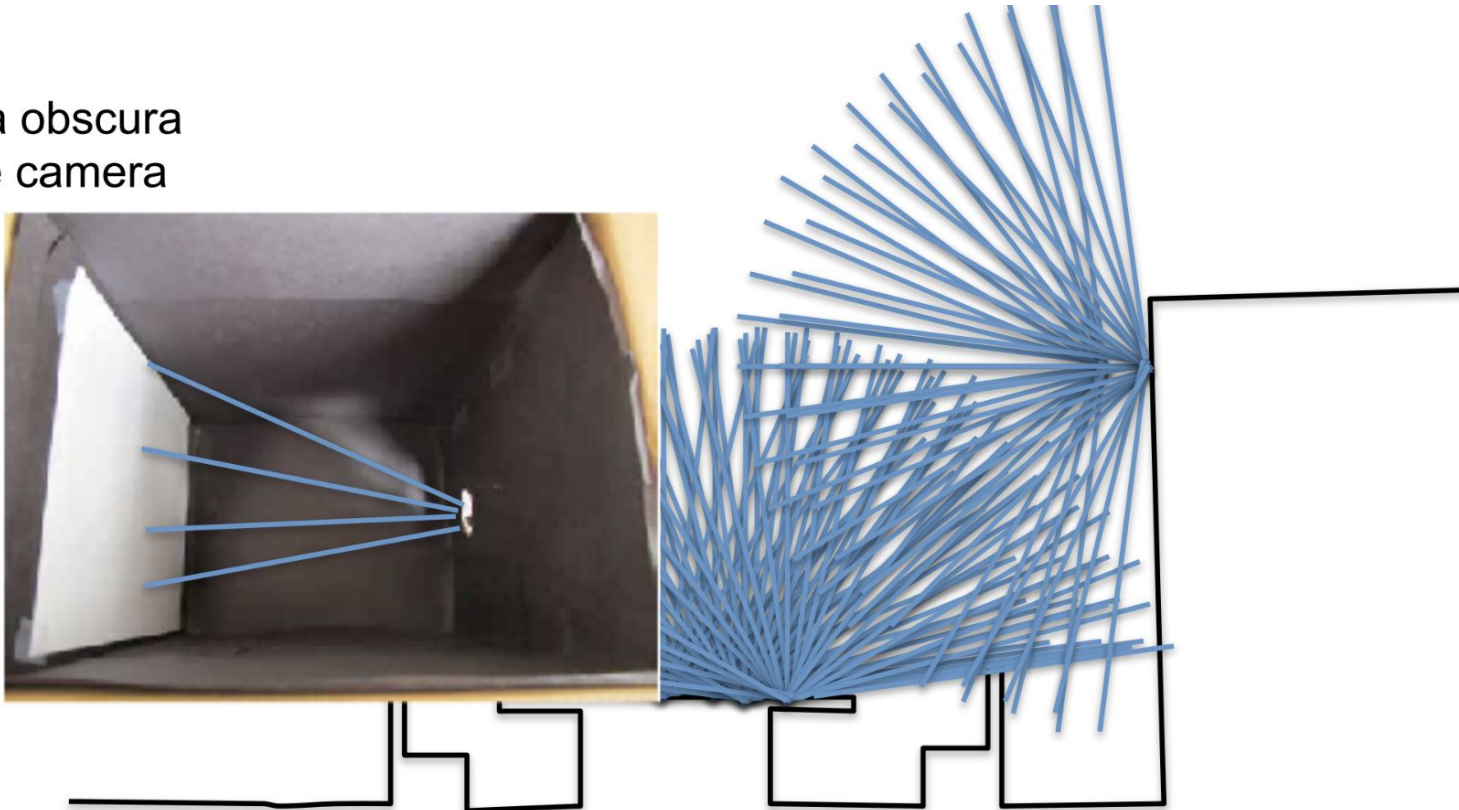
Propagación de la luz



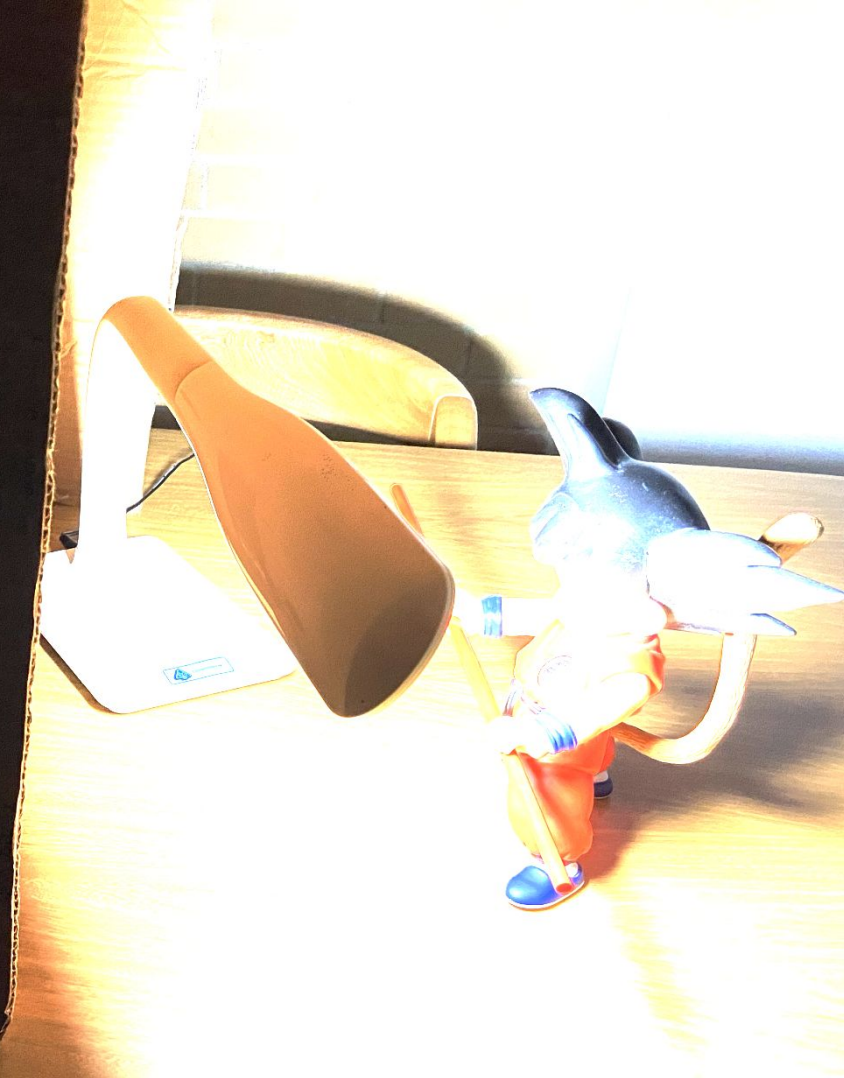
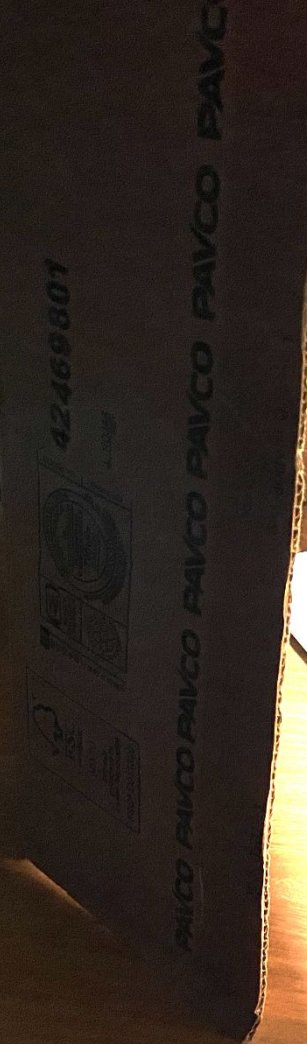
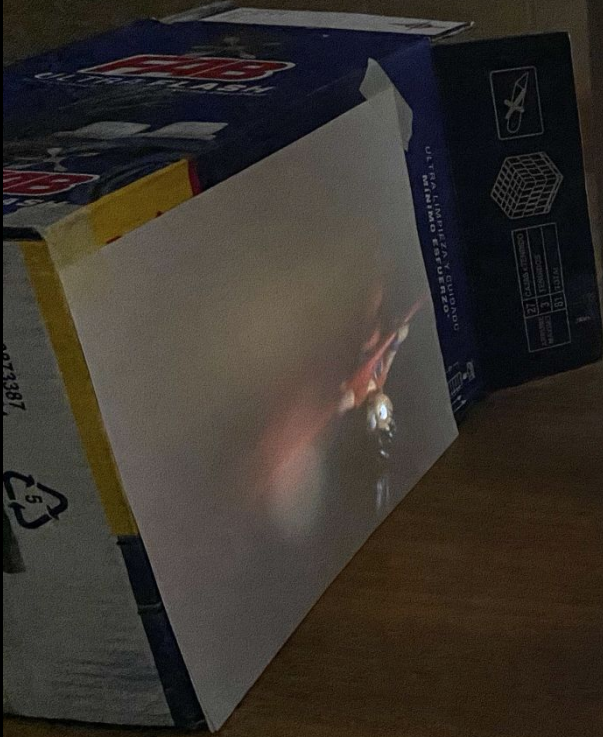
Why is there no picture appearing on the paper?

Propagación de la luz

The camera obscura
The pinhole camera







Construyendo la Camera Obscura





2. Formación de imágenes

Fotografía analógica



Óptica para enfocar
la luz en un plano
de imagen



Película para capturar
luz enfocada
(proceso químico)



Cuarto oscuro para
posprocesamiento limitado
(proceso químico)

Fotografía digital



Óptica para enfocar
la luz en un plano
de imagen

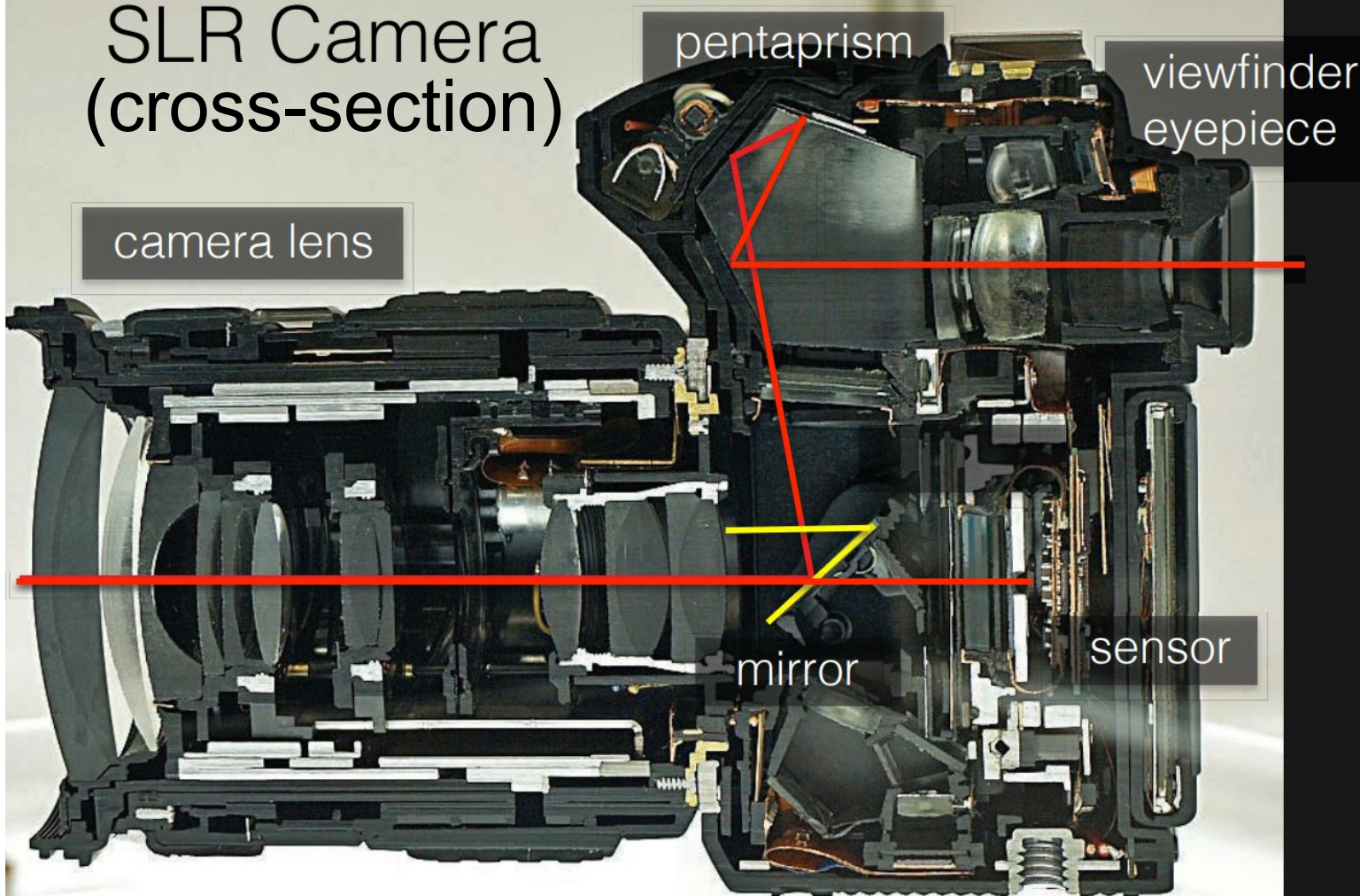


Sensor digital para
capturar luz enfocada
(proceso eléctrico)



Procesador integrado para
posprocesamiento
(proceso digital)

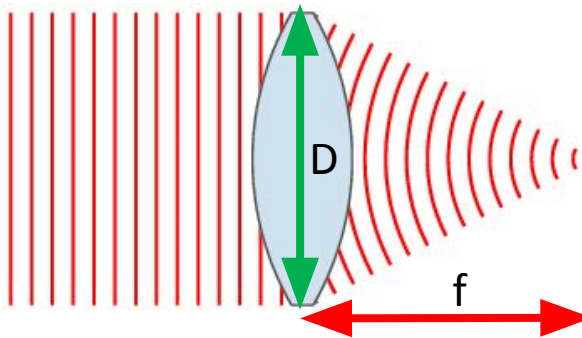
SLR Camera (cross-section)



Conceptos básicos de lentes

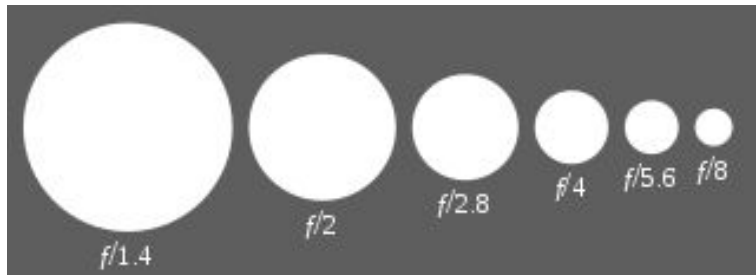
1. Propiedades de los lentes (F/#, power)

- Distancia focal
- Apertura (D)
- F-number (f/#): f/D
- Power (dioptría) = $1/f$



2. Trazado de rayos básico (3 rayos son suficientes)

<https://ophysics.com/l12.html>

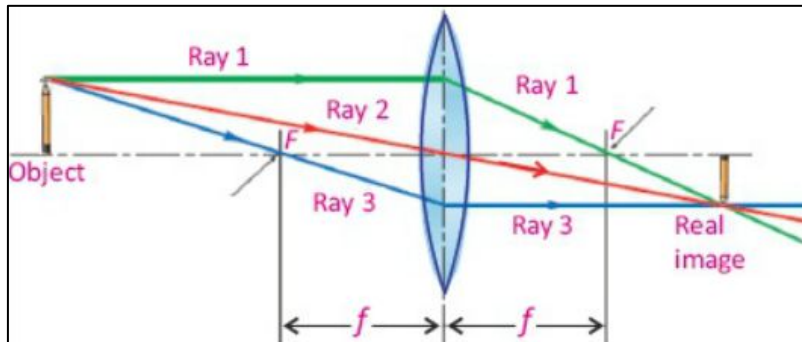


3. Trazado de rayos (Lens' Maker formula)

$$\frac{1}{d_o} + \frac{1}{d_i} = \frac{1}{f}$$

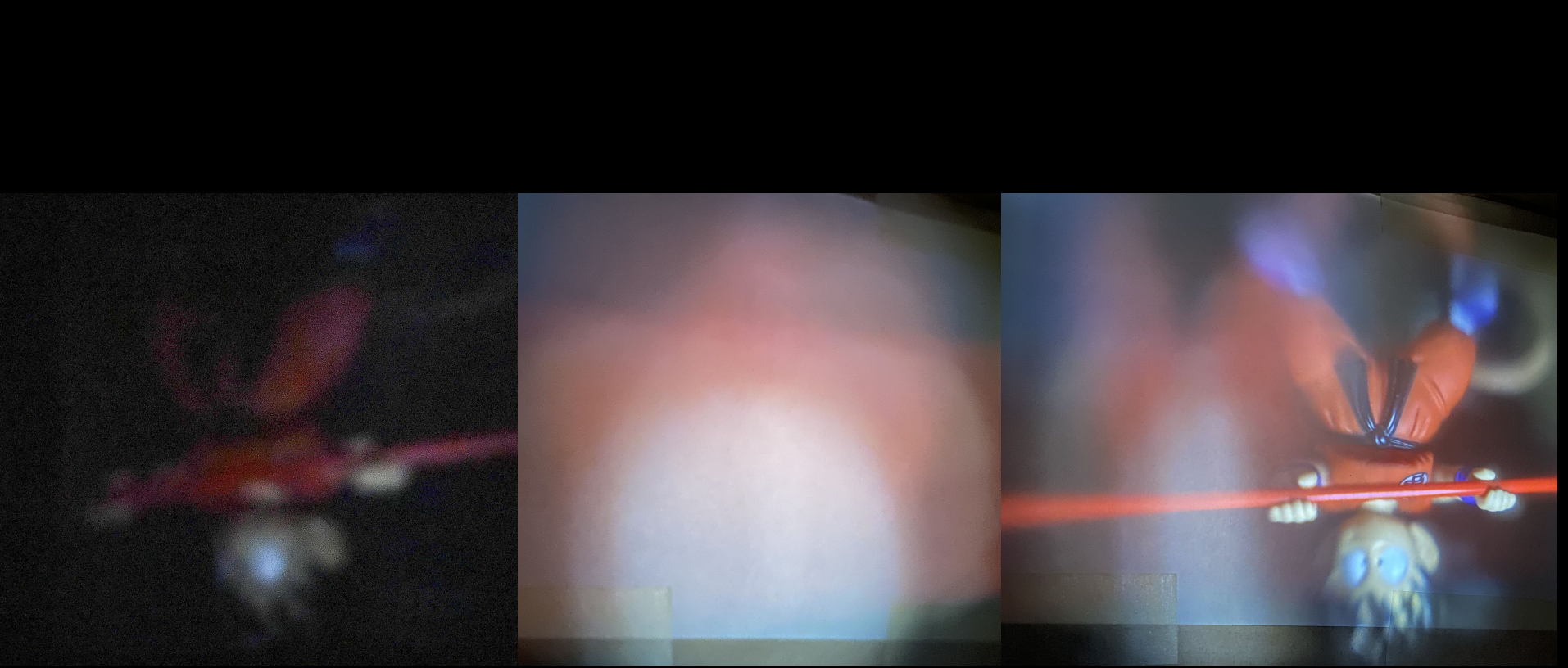
$$y_i = \frac{d_i * y_o}{d_o}$$

$$M = \frac{d_i}{d_o} = \frac{y_i}{y_o}$$



Demo:
Pinhole vs Lente



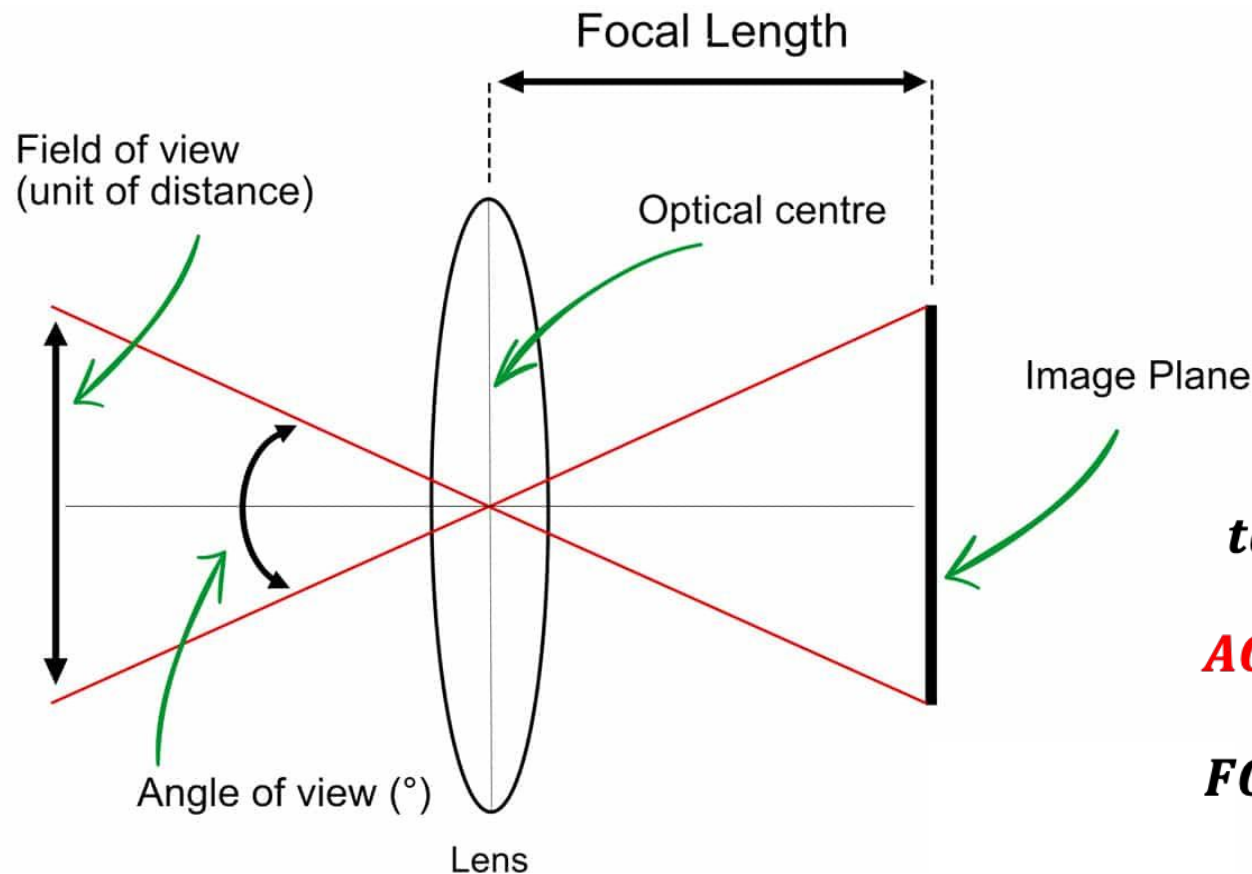




ULTRA LIMPIEZA Y CUIDADO
MINIMO ESFUERZO.



Angle of view (AOV) vs. Field of View (FOV)



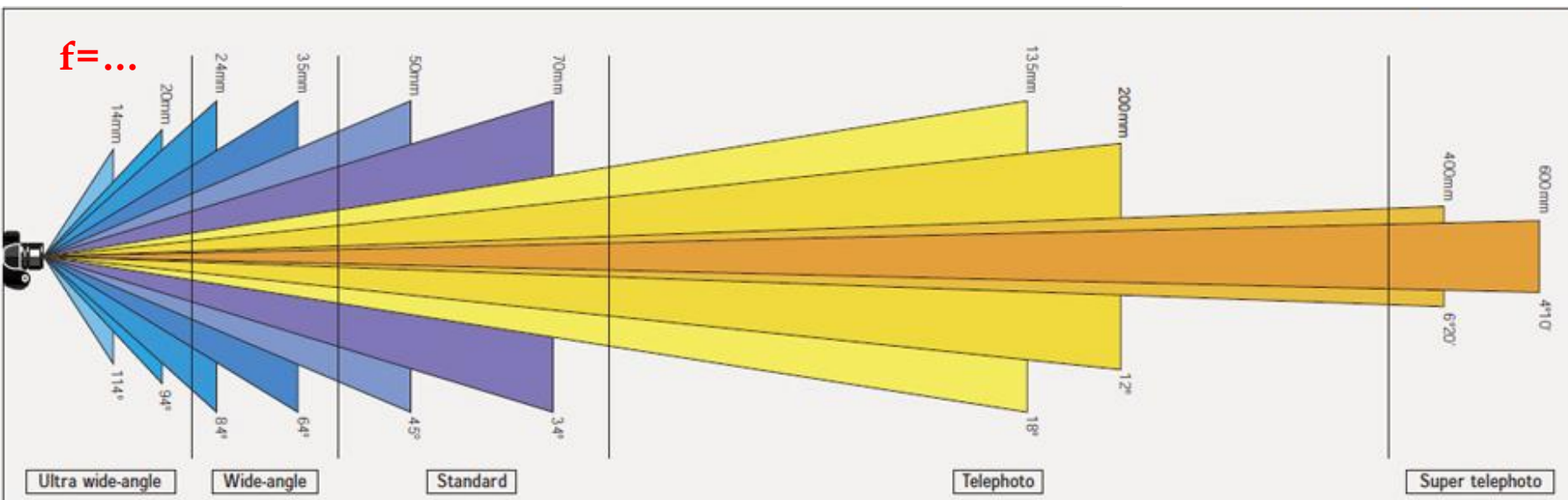
$$\tan\left(\frac{\alpha}{2}\right) = \frac{h/2}{f}$$

$$AOV = \alpha = 2\arctan\left(\frac{h}{2f}\right)$$

$$FOV = 2\tan\left(\frac{AOV}{2} * d_o\right)$$

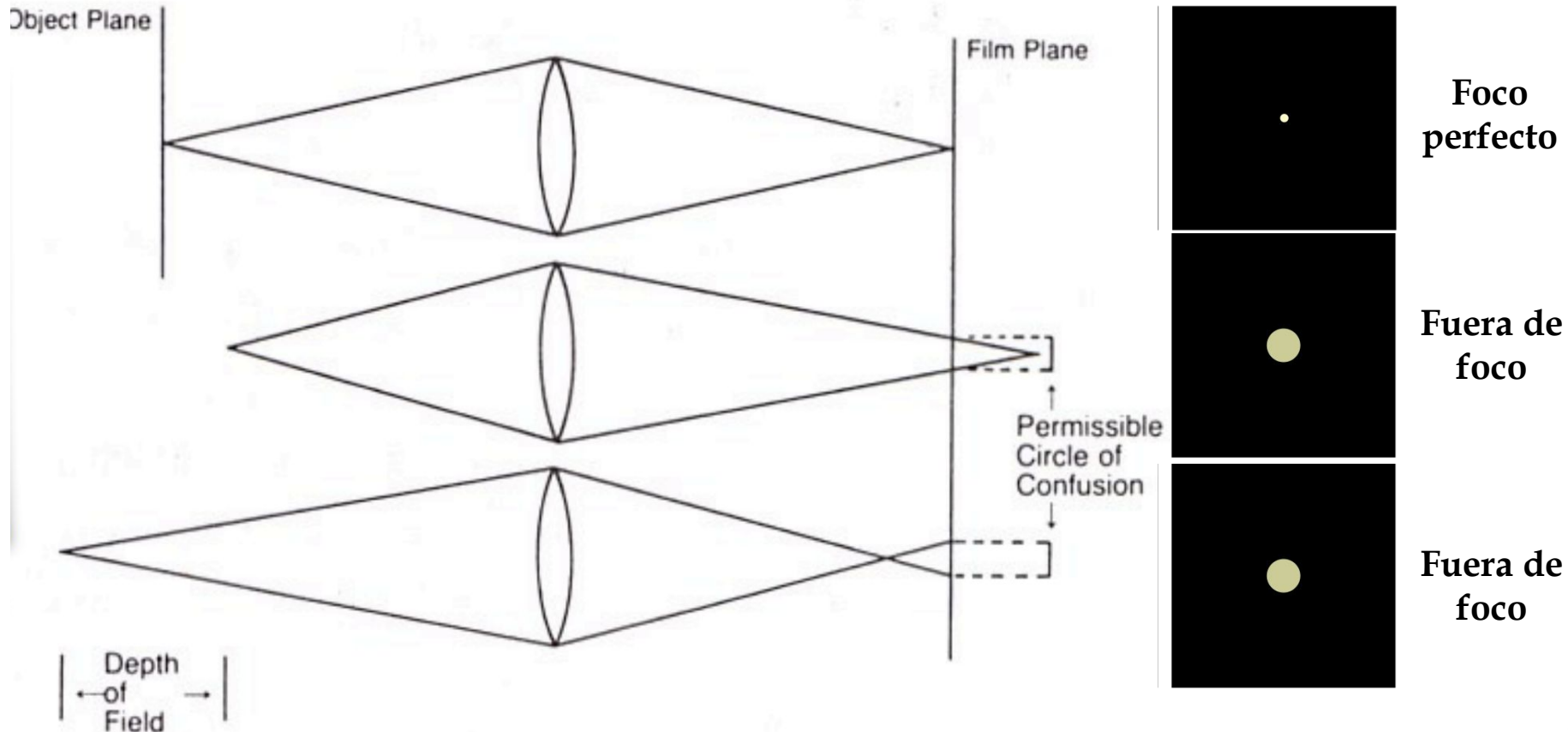
Ejemplos de diferentes FOV

DIY w. h = 43 mm



Normal view seen by the human eye

Profundidad de campo (Círculo de confusión)



Profundidad de campo (Depth of field, DoF)



f2



f22



Example (Reducing aperture)



Example (Reducing aperture)

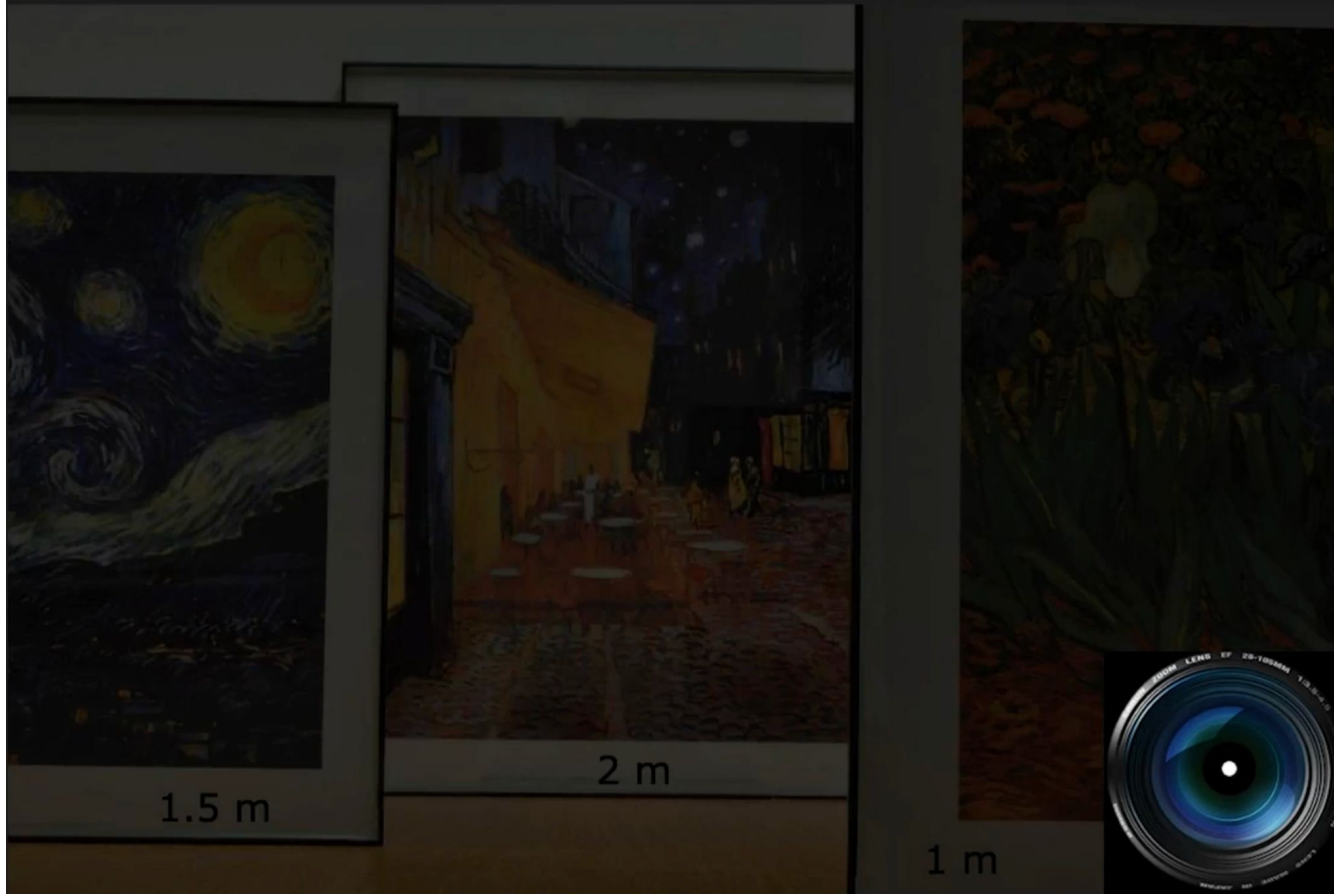


Example (Reducing aperture)



f/8

Example (Reducing aperture)



f/16

Example (Reducing aperture)



f/16

Ajustando
intensidad
digitalmente

Example (Reducing aperture)

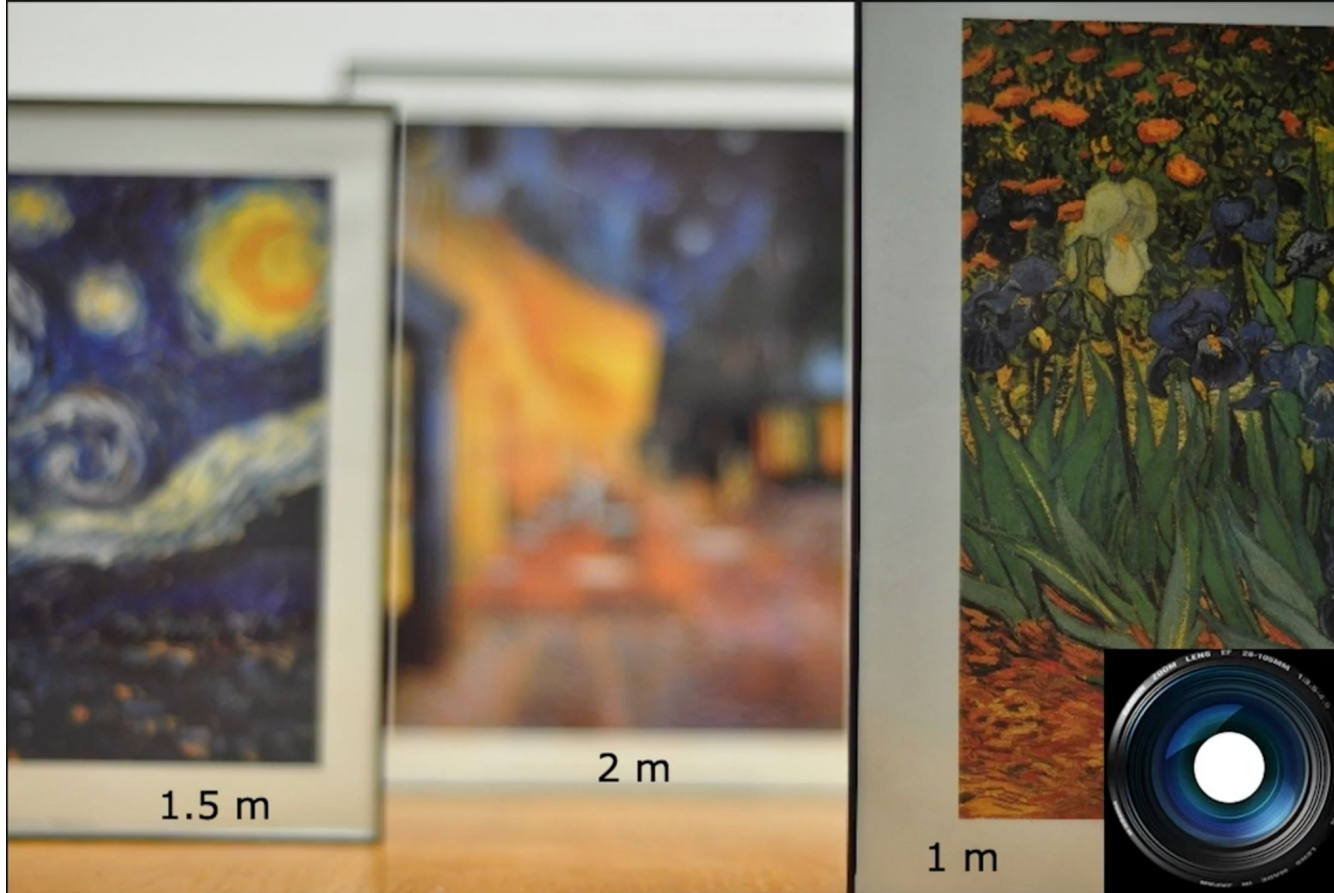
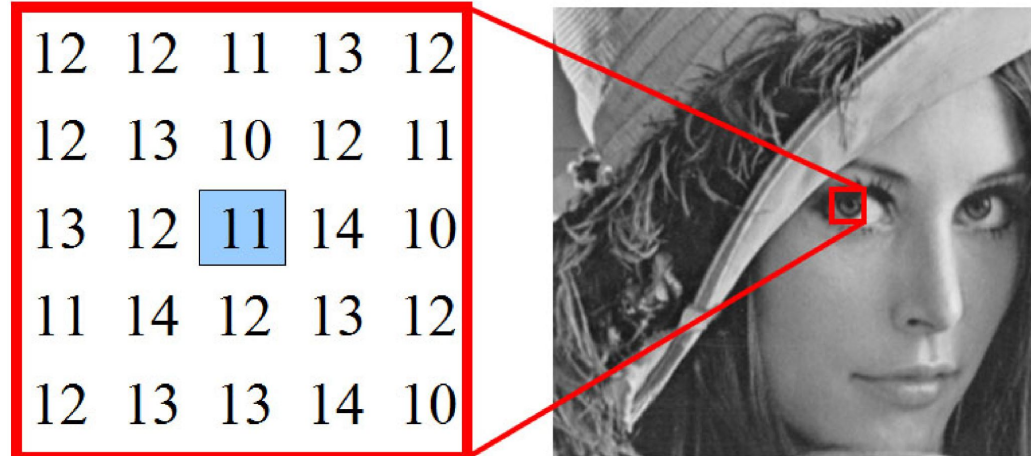
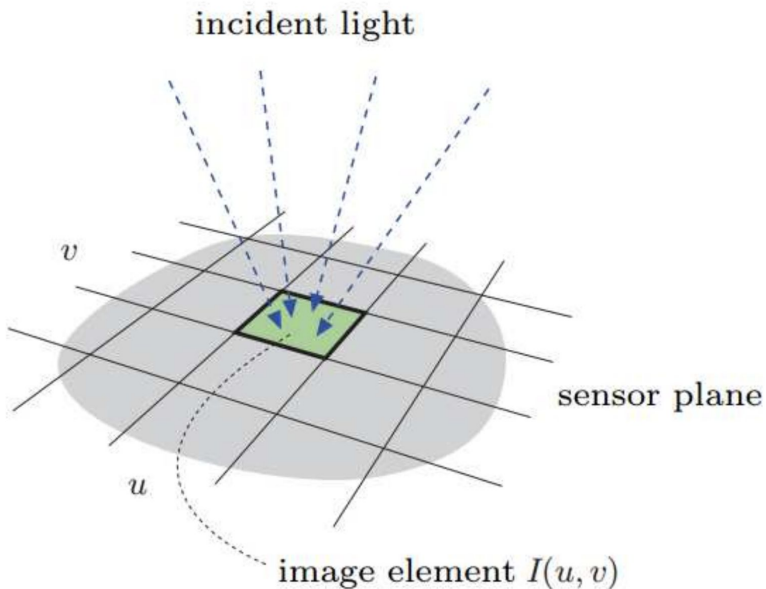


Imagen digital

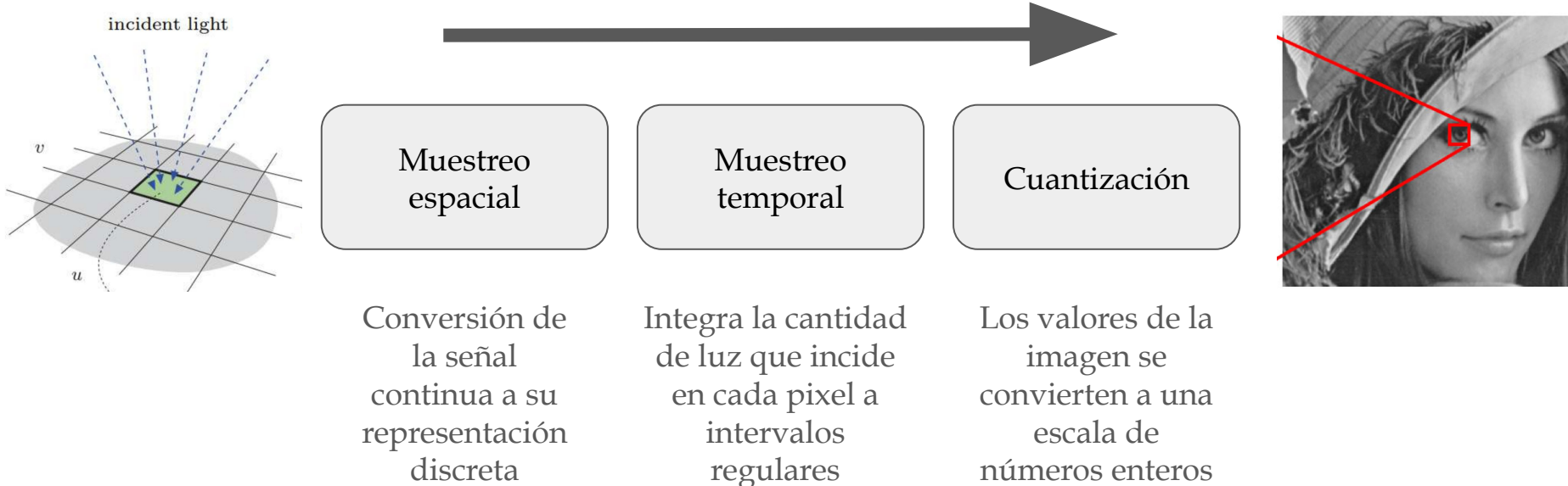
¿Qué es una imagen digital?

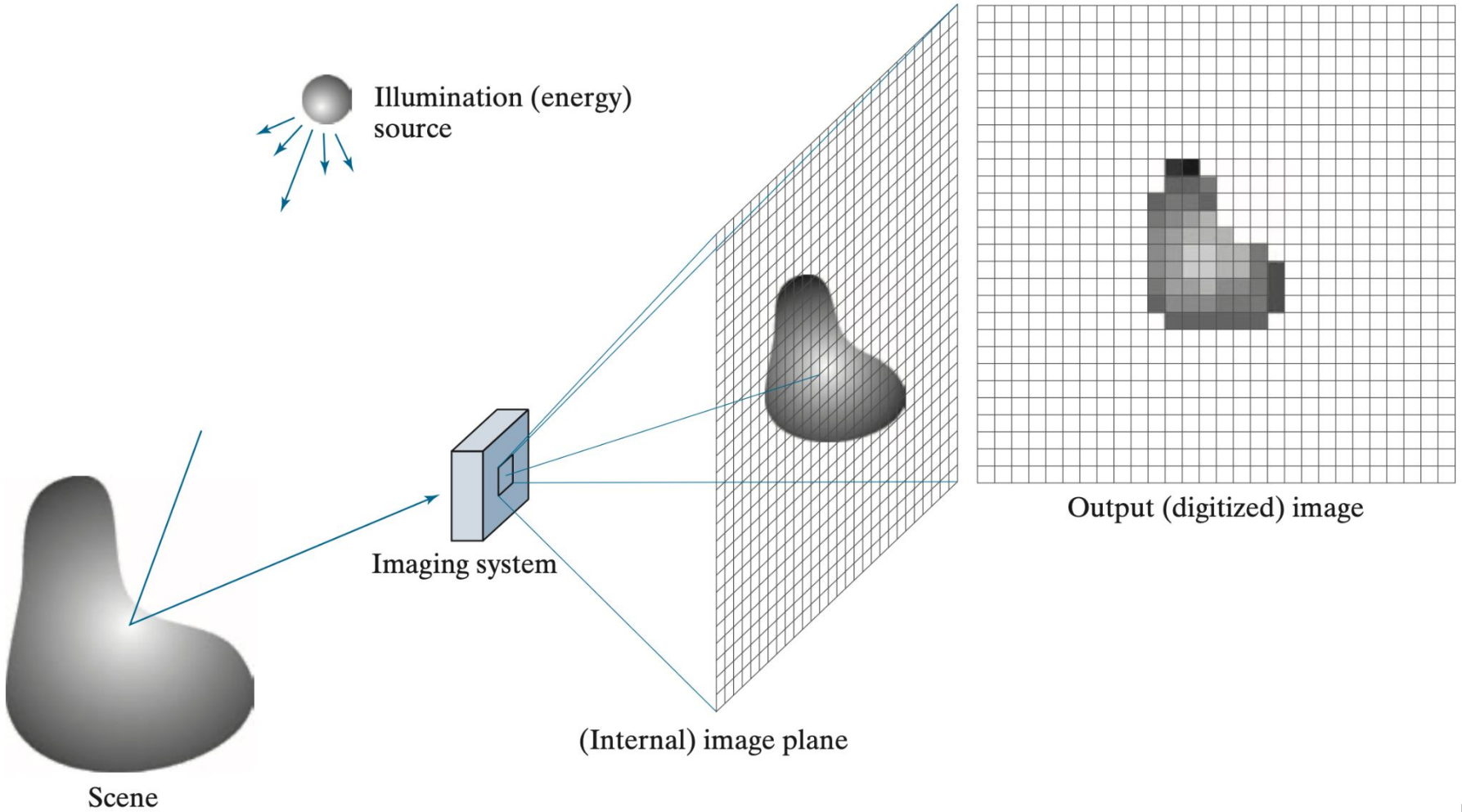


La proyección en el plano imagen de una cámara es una distribución continua de energía luminosa bidimensional, dependiente del tiempo.

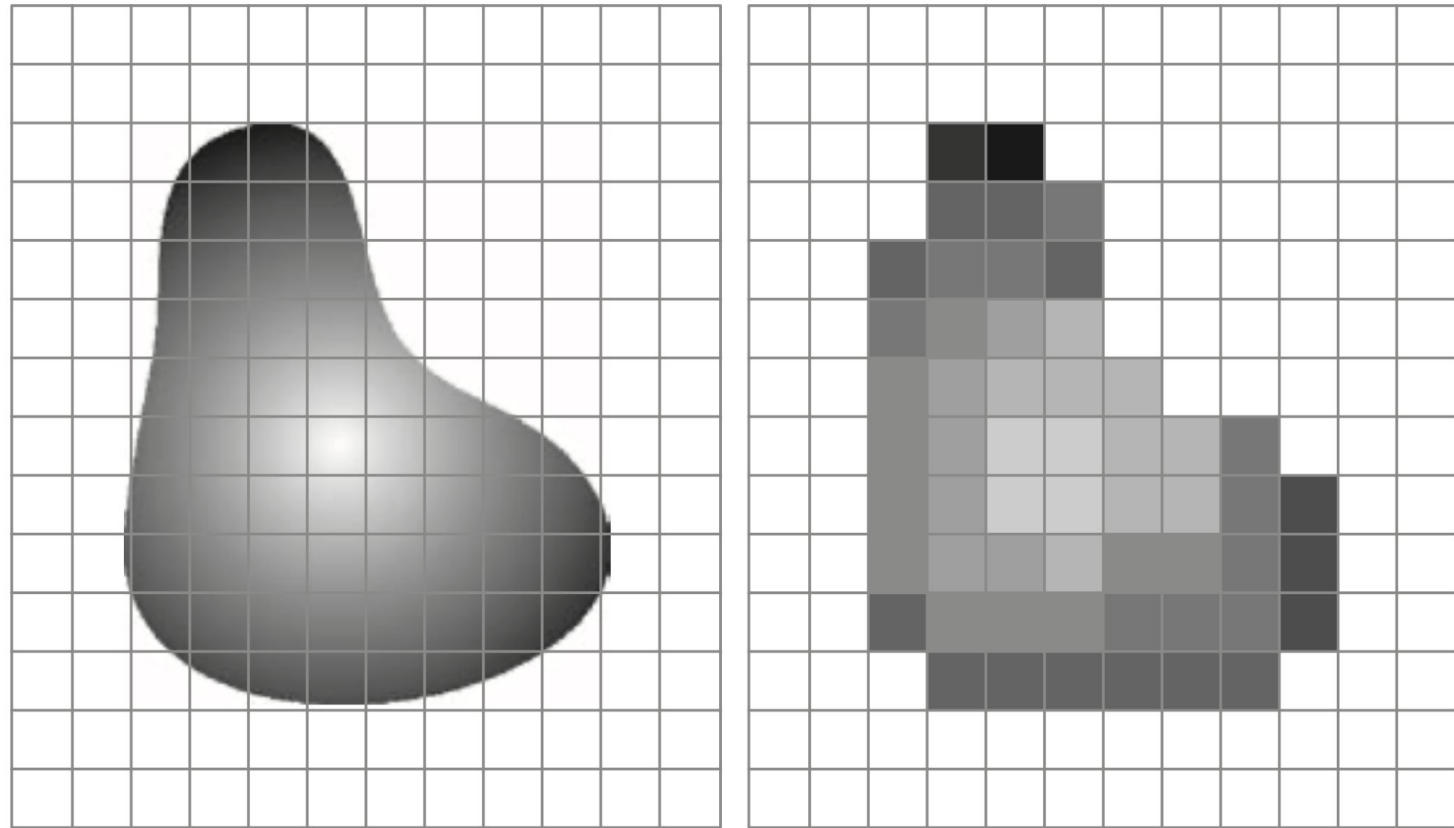
Imagen = Matriz de números
(cada número es un pixel)

Del dominio continuo al dominio digital





Del dominio continuo al dominio digital



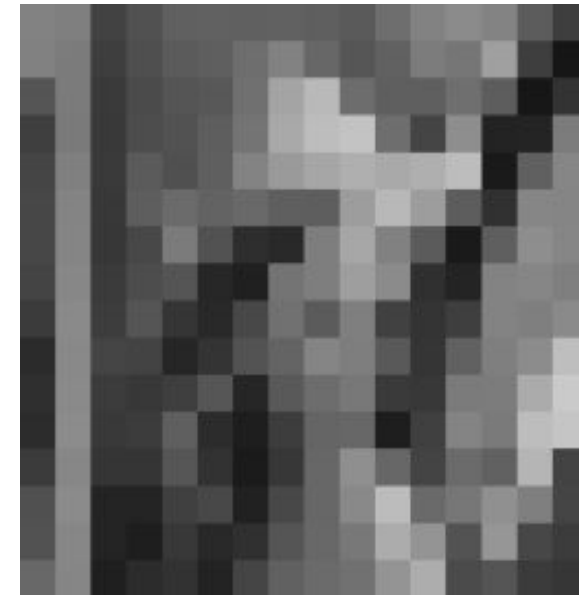
Efecto del número de píxeles en el muestreo



256x256



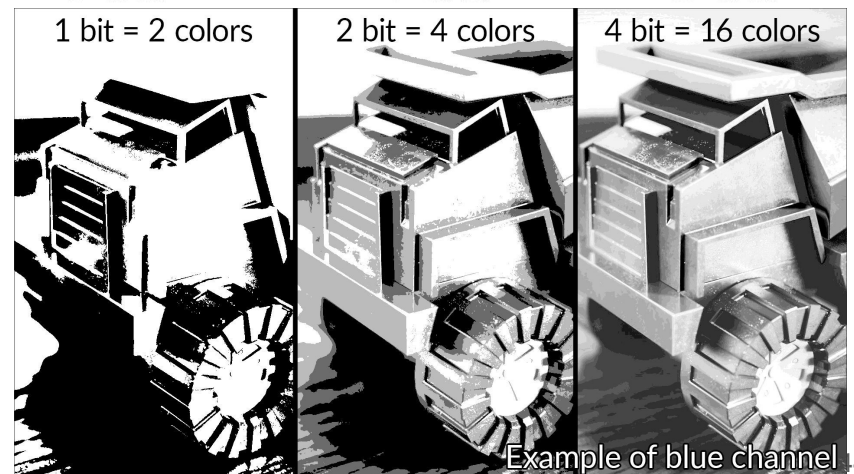
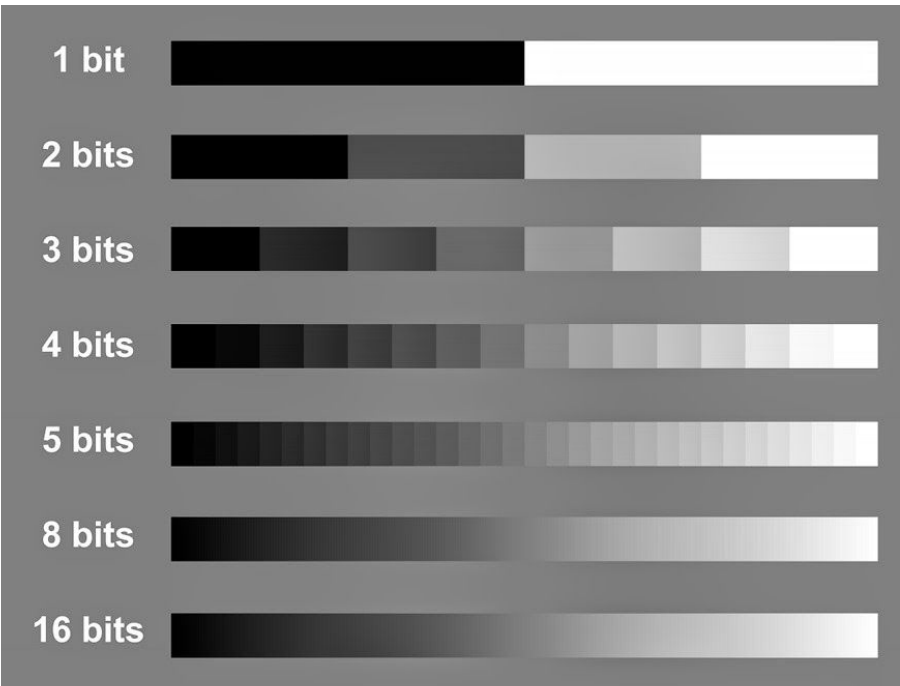
64x64



16x16

<https://www.microscopyu.com/tutorials/spatial-resolution-in-digital-imaging>

Profundidad de bits = Tonos de gris



Tipos de imágenes = Proyecciones de la función plenóptica

Binaria



Escala de grises



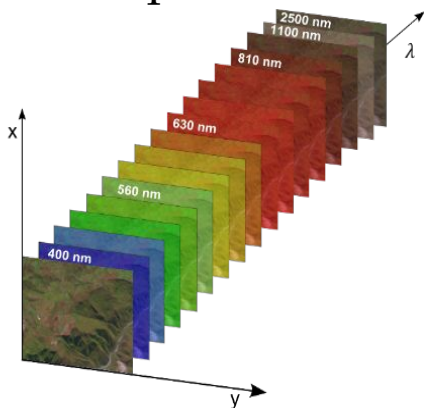
Color



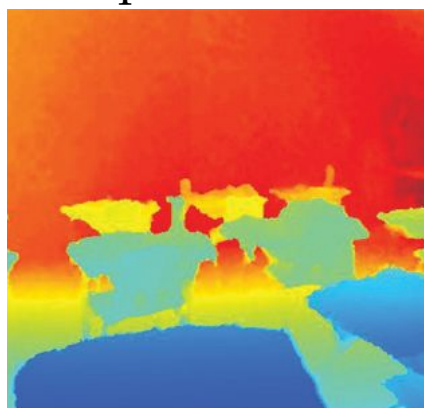
Video



Espectral



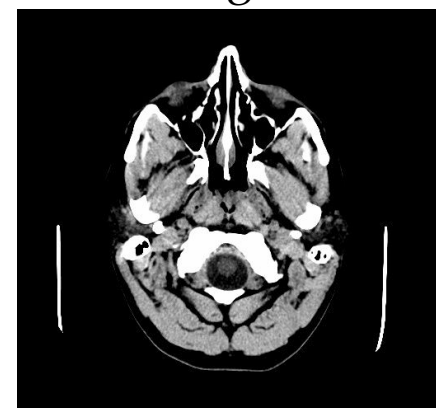
De profundidad



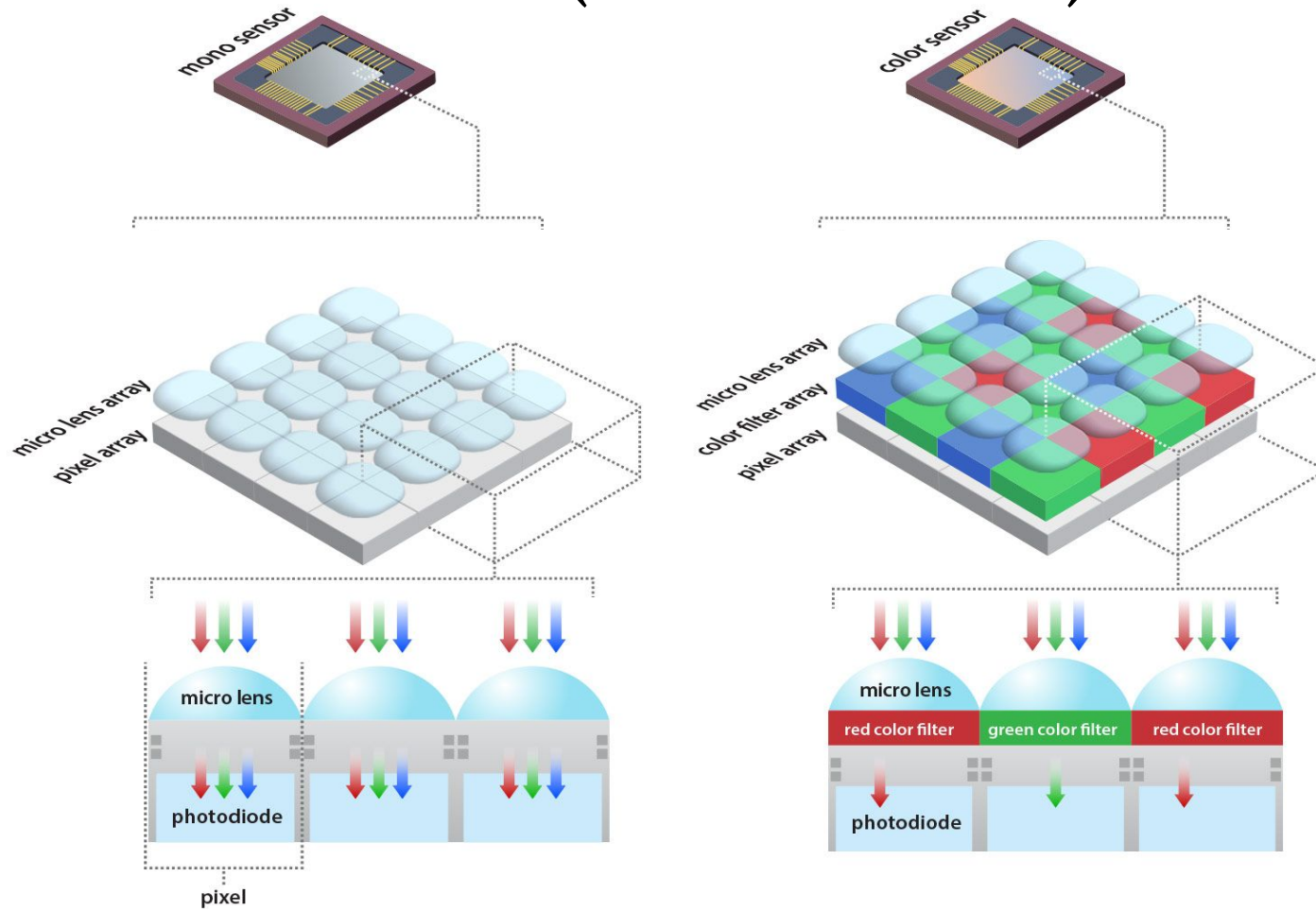
Térmica



Tomografía



Anatomía de un sensor (Mono vs Color)



Anatomía de un sensor

A - Colour filter array: Mosaic Bayer Filter.

B - Low-pass filter/Anti-aliasing filter: Prevent aliasing.

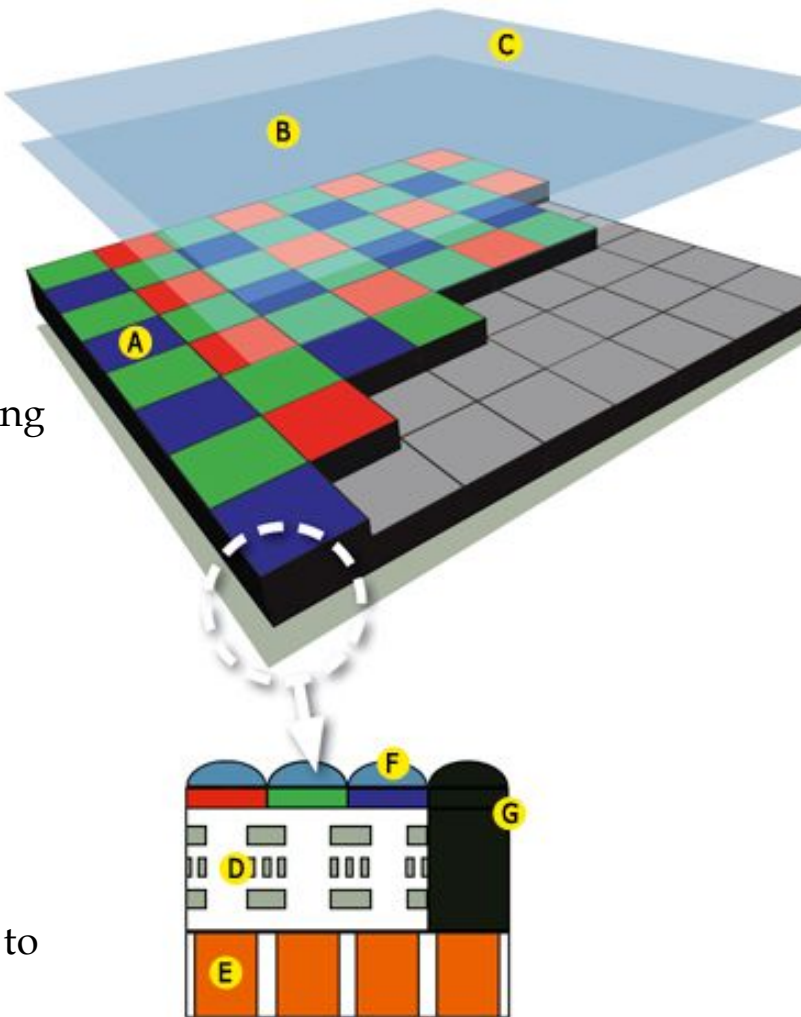
C - Infrared filter (hot mirror): Prevents IR light from reaching the sensor, and helps minimise any colour casts or artefacts

D - Circuitry: CCD vs CMOS.

E - Pixel: Contains a light sensitive photodetector, which measures the amount of light (photons) falling onto it.

F - Microlenses: Help funnel light into each pixel, thereby increasing the sensitivity of the sensor.

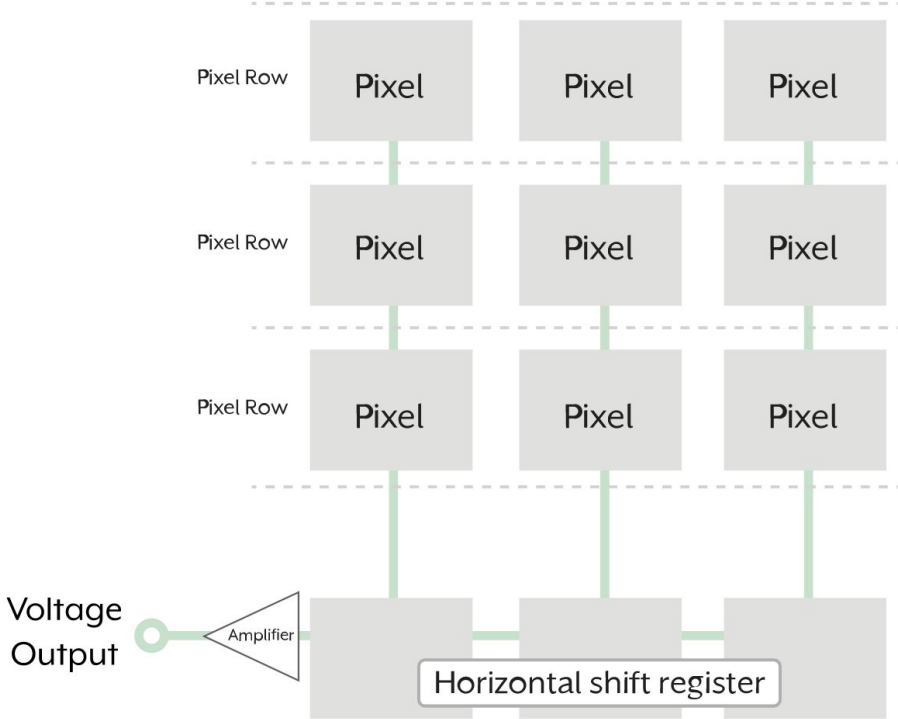
G - Black pixels: Around the peripheries, allows the camera to see how much dark current builds up during an exposure.



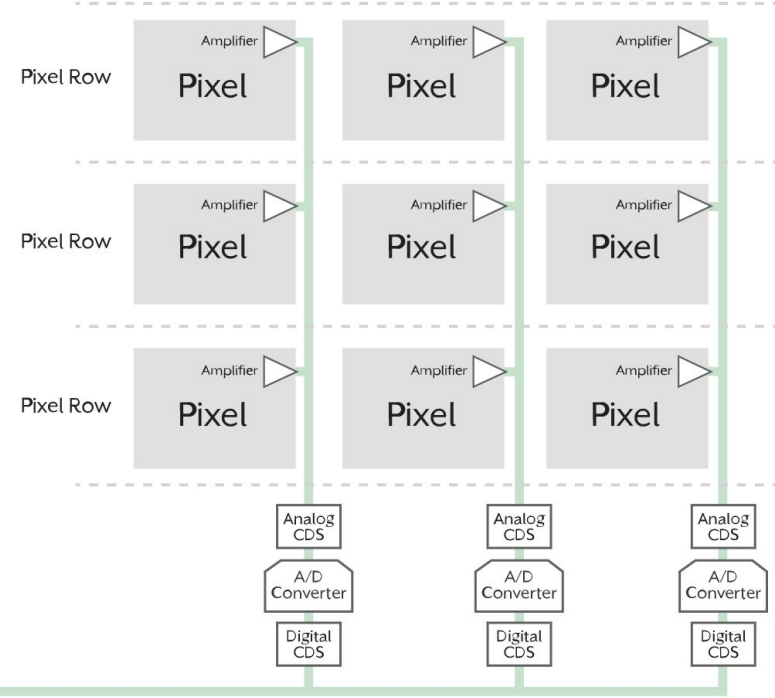
De fotones a pixeles: CCD vs CMOS

Diferencia principal: Electrónica por pixel o global

CCD: Charged Coupled Device



CMOS: Complementary Metal-Oxide Semiconductor



3. El triángulo de la exposición



Triángulo de Exposición



SHUTTER SPEED

Gain
(ISO)



IDEAL EXPOSURE



APERTURE



Less Light

4000

Shutter

2000

Aperture

1000

Good Exposure

500



250

125

60

30

15

8

f/22

f/16

f/11

f/8

f/5.6

f/4

f/2.8

ISO

More Light

100 200 400 800 1600 3200 6400 12800

Less Light

4000

Shutter

2000

Aperture

1000

1 Stop Over Exposed

500

250

125

60

30

15

8

f/22

f/16

f/11

f/8

f/5.6

f/4

f/2.8

ISO

100 200 400 800 1600 3200 6400 12800

More Light

Less Light

4000

Shutter

2000

Aperture

1000

Good Exposure

500

f/16

250

f/11

125

f/8

60

f/5.6

30

ISO

15

f/4

8

100 200 400 800 1600 3200 6400 12800

f/2.8

More Light

Less Light

4000

Shutter

2000

Aperture

1000

Good Exposure

f/22

500

f/16

250

f/11

125

f/8

60

f/5.6

30

ISO

f/4

15

100 200 400 800 1600 3200 6400 12800

8

f/2.8

More Light

Less Light

4000

2000

1000

500

250

125

60

30

15

8

Shutter

Aperture

f/22

f/16

f/11

f/8

f/5.6

f/4

f/2.8

2 Stops Under Exposed



ISO

100 200 400 800 1600 3200 6400 12800

More Light

Less Light

4000

2000

1000

500

250

125

60

30

15

8

Shutter

Aperture

Good Exposure

f/22

f/16

f/11

f/8

f/5.6

f/4

f/2.8

ISO

100 200 400 800 1600 3200 6400 12800

More Light

Shutter Speed



1/1000



1/500



1/250



1/125



1/60



1/30



1/15



1/8



1/4

1/2





Apertura



$$\pi r_1^2 = A$$

$$\pi r_2^2 = 2A$$

$$\sqrt{\cancel{\pi}r_2^2} = \sqrt{2(\cancel{\pi}r_1^2)}$$

$$r_2 = \sqrt{2}r_1$$

$$\text{or } 1.41421r_1$$

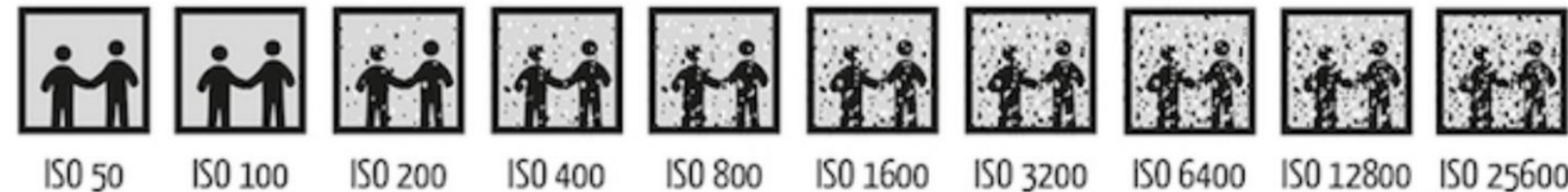


Large f/#



Small f/#

Gain (ISO)



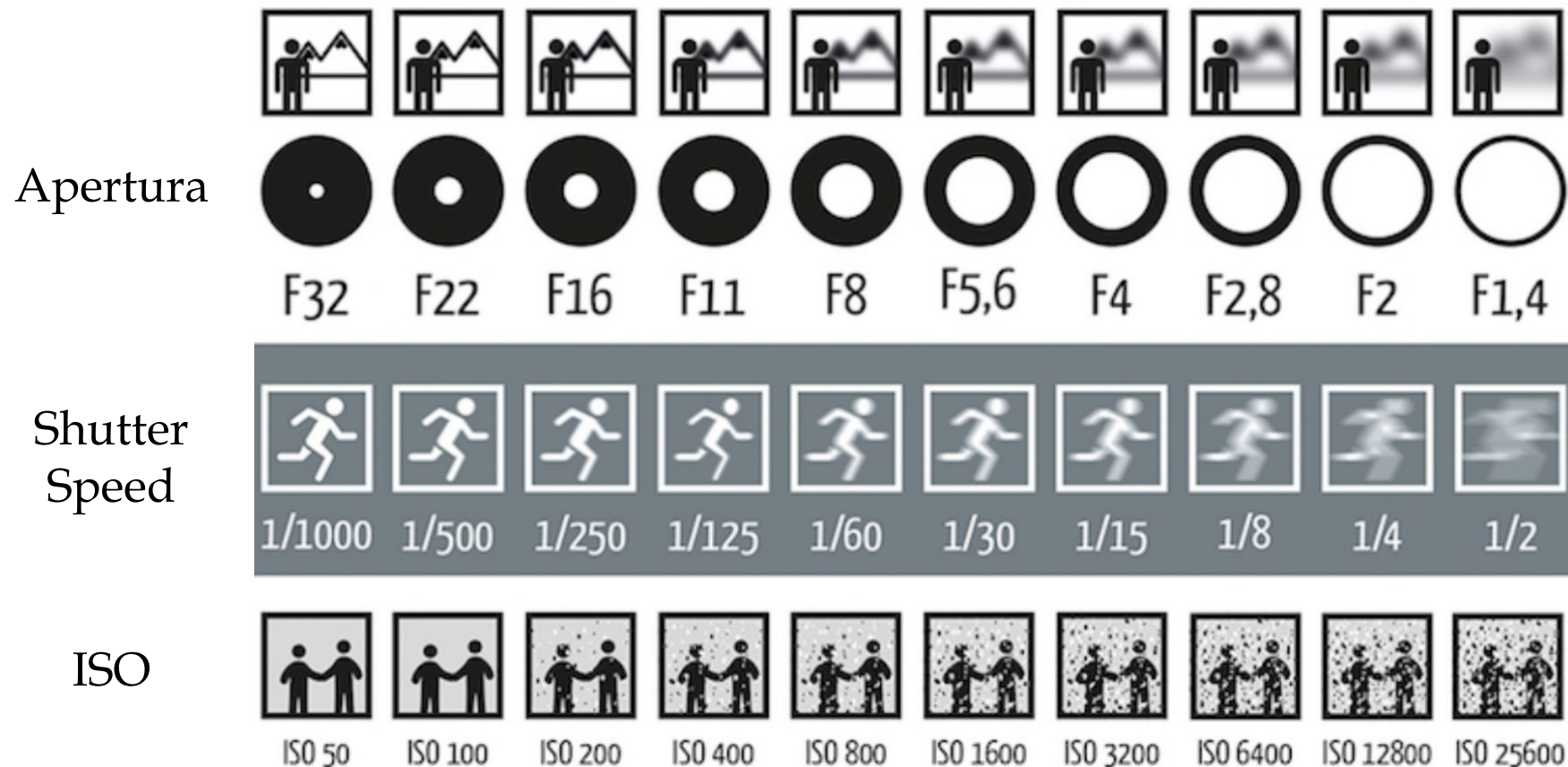
ISO 100

ISO 3200

CLEAN IMAGE

NOISY IMAGE

Triángulo de la exposición = Trade-off



Try it yourself

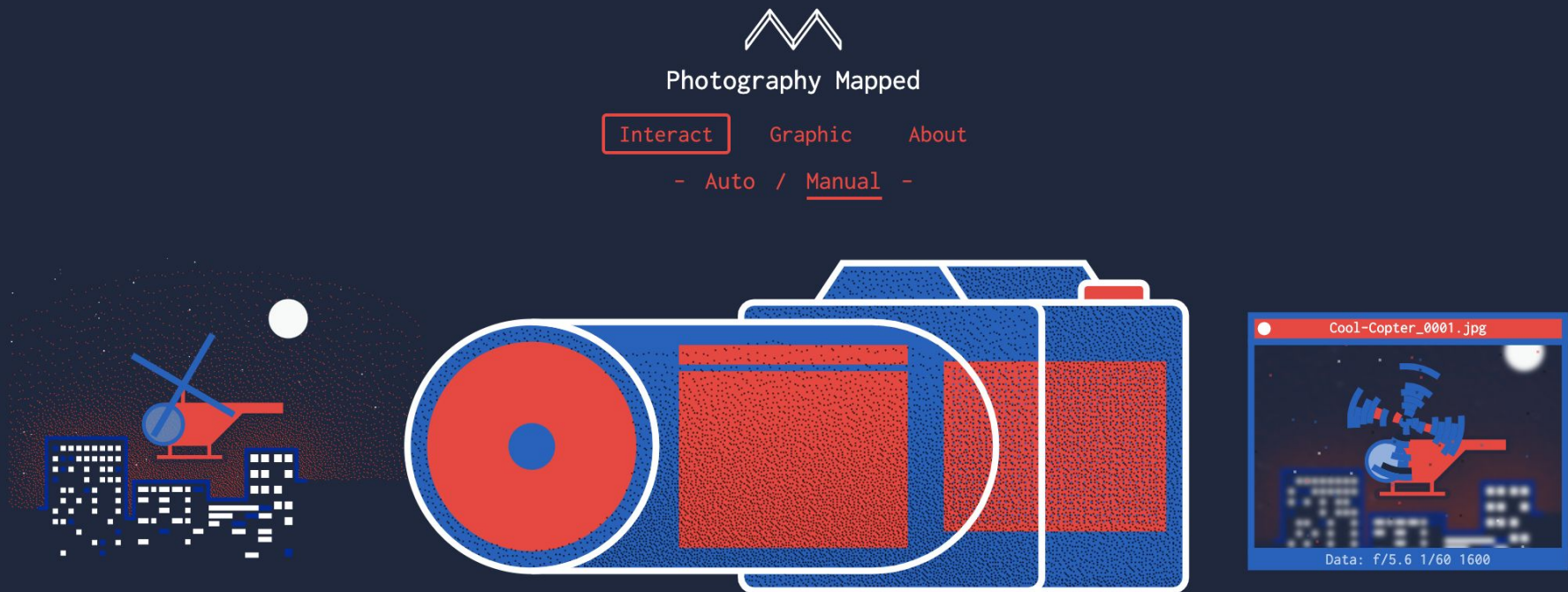
<https://camerasim.com/original-camerasim/>

CameraSim

**Camera simulators for photography
instructors & their students.**

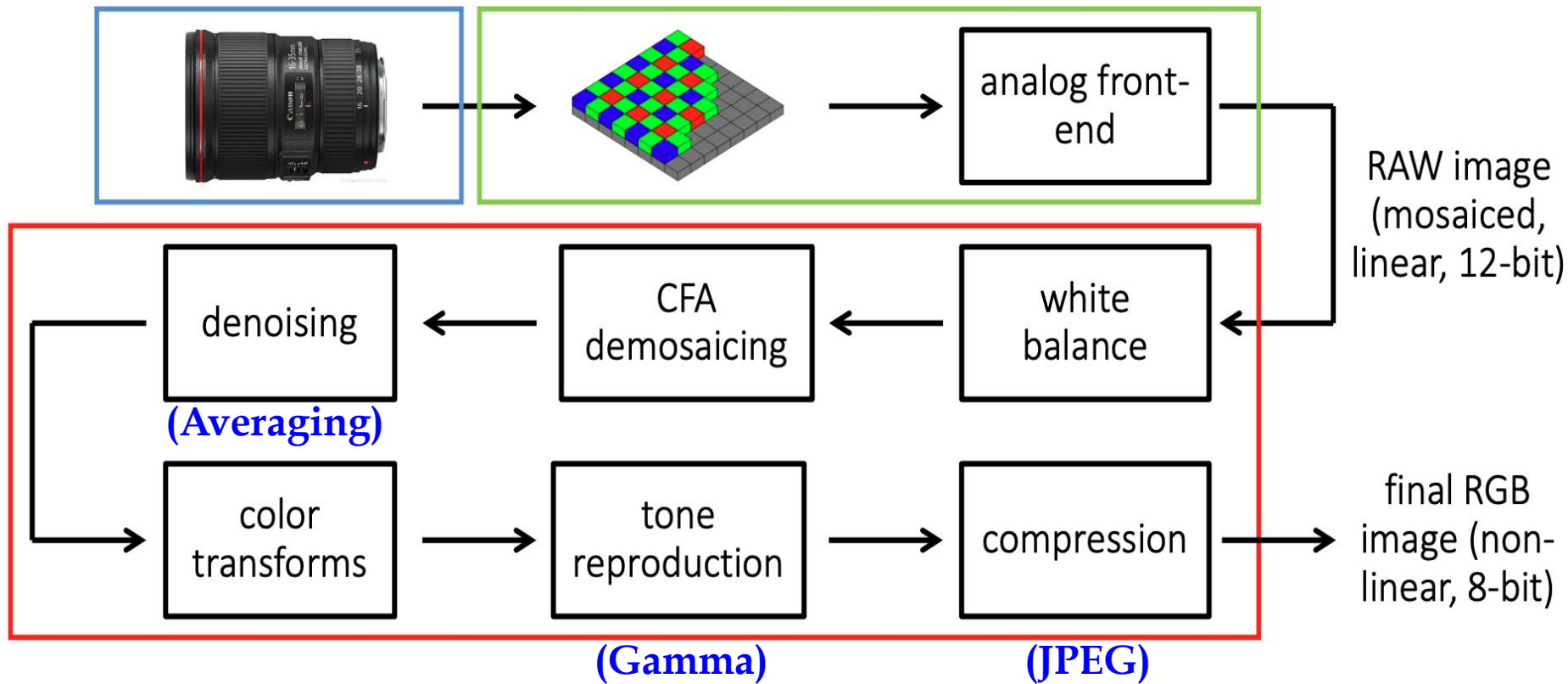
Try it yourself

<http://photography-mapped.com/interact.html>



4. Pipeline de procesamiento de imágenes digitales (en cámara)

The (in-camera) image processing pipeline

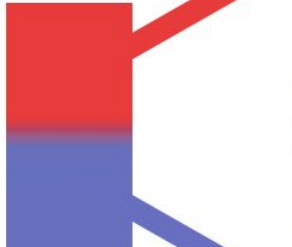


Balance de Blancos

Human visual system has *chromatic adaptation*:

- We can perceive white (and other colors) correctly under different light sources.

Retinal vs
perceived color.



[Slide credit: Todd Zickler]

Fun fact



ORIGINAL

(Blue and Gold)
+0% brightness, +0%
contrast



BRIGHTER

(White and Gold)
+40% brightness, +40%
contrast

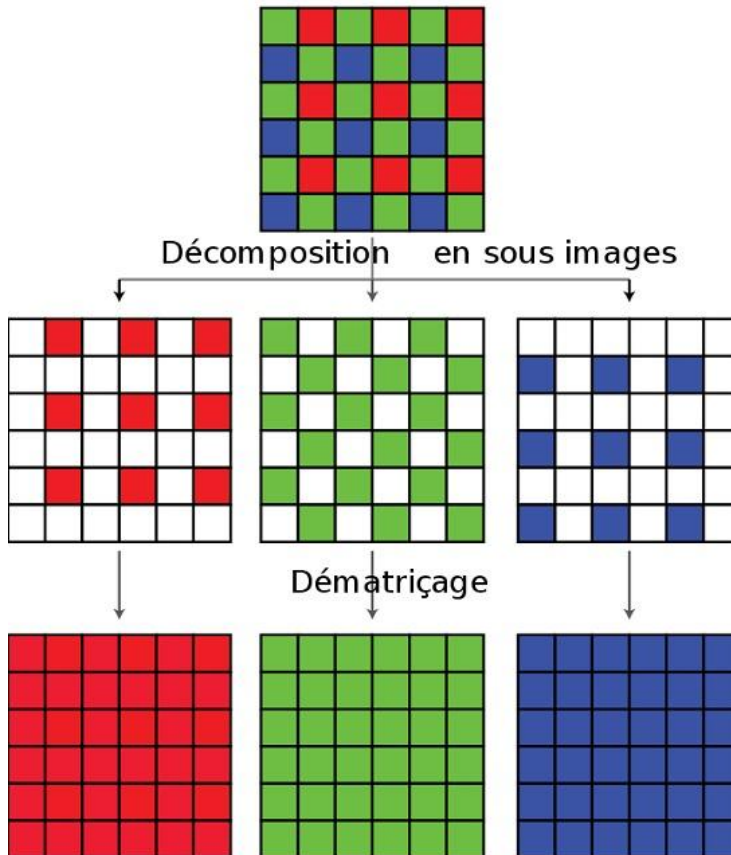


DARKER

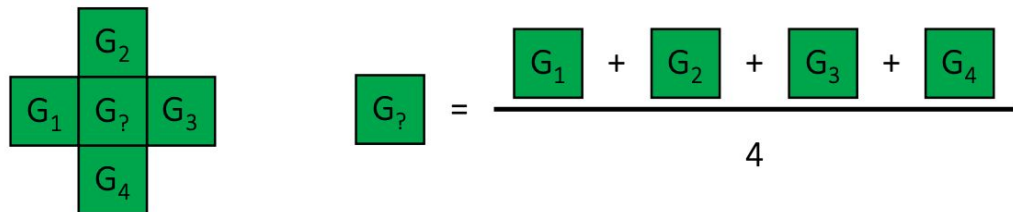
(Blue and Black)
-30% brightness, +40%
contrast



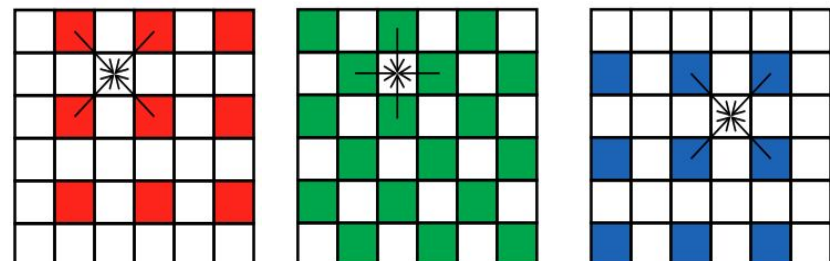
Demosaicking



- Interpolación bilineal (método simple)

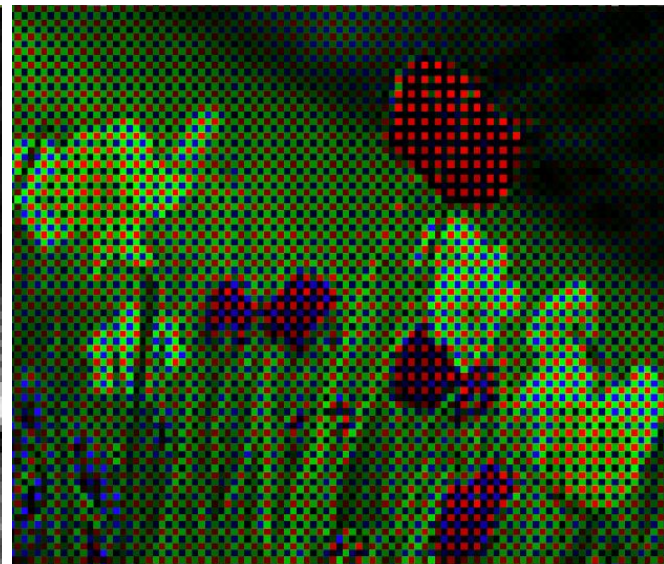


- Se usan métodos más avanzados
 - Menon
 - Malvar
 - Freeman, Etc.
- $\frac{2}{3}$ partes de los datos son “inventados”



Demosaicking (Raw Data)

G	R	G	R	G	R	G	R
B	G	B	G	B	G	B	G
G	R	G	R	G	R	G	R
B	G	B	G	B	G	B	G
G	R	G	R	G	R	G	R
B	G	B	G	B	G	B	G
G	R	G	R	G	R	G	R
B	G	B	G	B	G	B	G



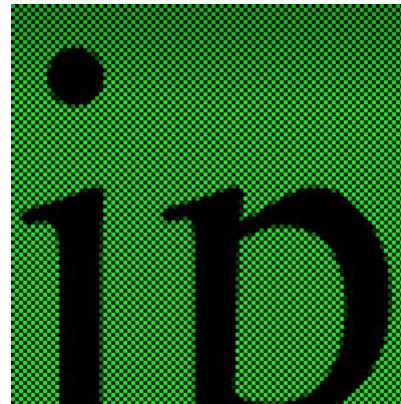
Demosaicking (Interpolation Example)



Raw image



Red channel



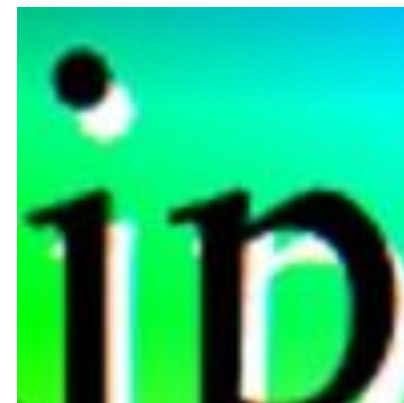
Green channel



Blue channel



Ground truth



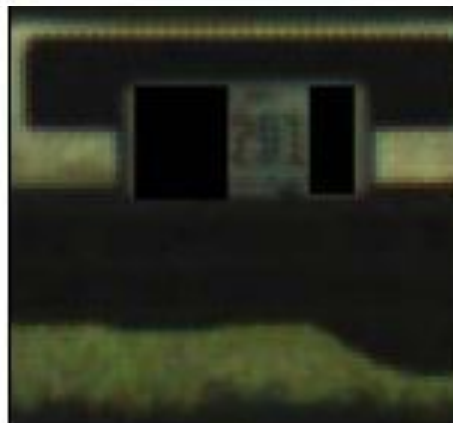
Demosaicked

Problemas

Artefactos
de color
falso



Artefacto
de
cremallera



Denoising (Tipos de ruido)

1) Ruido de disparo (fotónico):

Las tasas de llegada de fotones son un proceso aleatorio (Poisson)

2) Ruido oscuro:

Electrones debido a la actividad térmica
(empeora cuando el sensor se calienta)

3) Ruido de lectura:

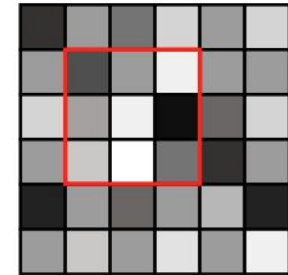
Causado por la lectura y la electrónica AFE
(por ejemplo, ganancia, conversor A/D)



Denoising (Eliminación de ruido)

Look at the neighborhood around you.

I_1	I_2	I_3
I_4	I_5	I_6
I_7	I_8	I_9



- Mean filtering (take average):

$$I'_5 = \frac{I_1 + I_2 + I_3 + I_4 + I_5 + I_6 + I_7 + I_8 + I_9}{9}$$

- Median filtering (take median):

$$I'_5 = \text{median}(I_1, I_2, I_3, I_4, I_5, I_6, I_7, I_8, I_9)$$

Large area of research. We will see some more about filtering in a later lecture.

Diferentes cámaras generan diferentes imágenes



Xr



11



13

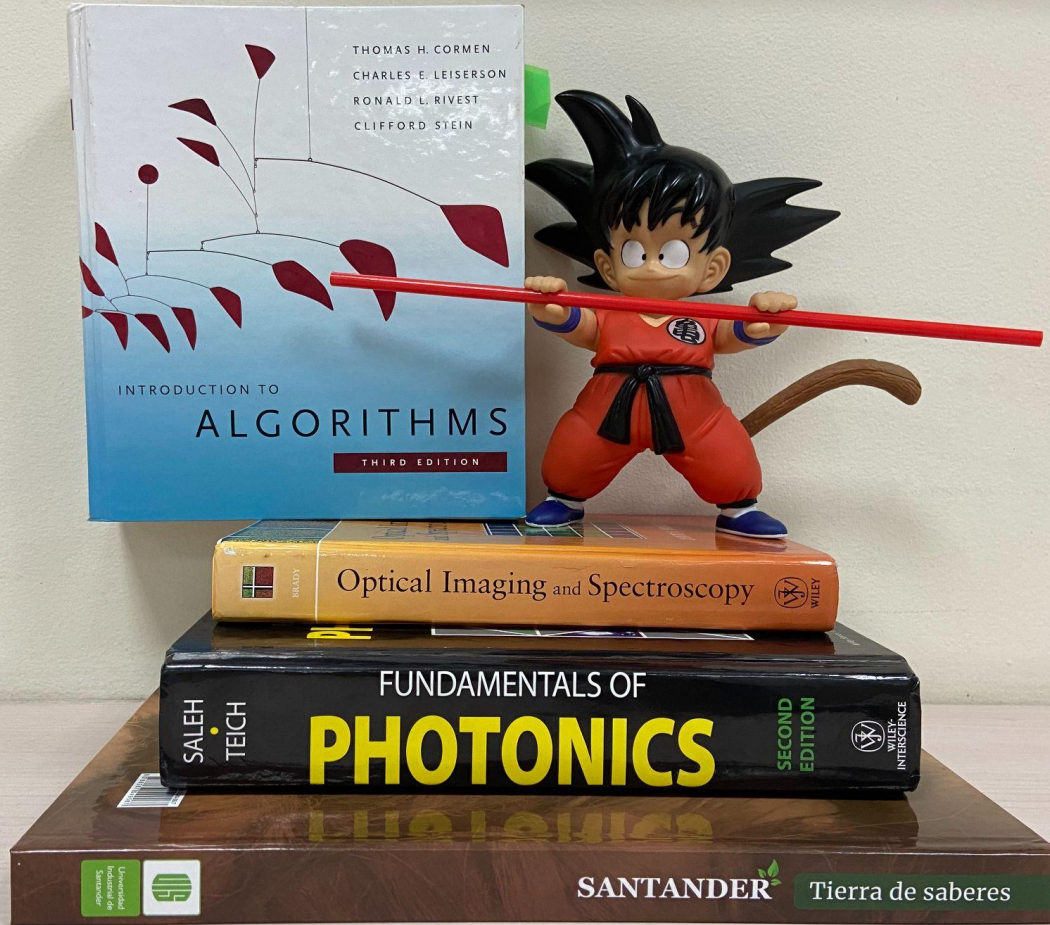


Xiaomi 9S



Samsung A30

Ejemplo



iPhone XR



iPhone 11



iPhone 13



Xiaomi 9S



Samsung A30



iPhone XR



iPhone 11



iPhone 13



Xiaomi 9S



Samsung A30





iPhone XR



iPhone 11



iPhone 13



Xiaomi 9S



Samsung A30

5. Transformaciones de imágenes

¿Qué es una transformación geométrica?

- Usadas para modificar la disposición espacial de los píxeles de una imagen.
- Las T.G. constan de dos operaciones básicas:
 - a. Transformación espacial de coordenadas.
 - b. Interpolación de intensidad, que asigna valores de intensidad a los píxeles transformados espacialmente.

Transformación de coordenadas

$$\begin{bmatrix} x' \\ y' \end{bmatrix} = \mathbf{T} \begin{bmatrix} x \\ y \end{bmatrix} = \begin{bmatrix} t_{11} & t_{12} \\ t_{21} & t_{22} \end{bmatrix} \begin{bmatrix} x \\ y \end{bmatrix}$$

Transformación afín de coordenadas

$$\begin{bmatrix} x' \\ y' \\ 1 \end{bmatrix} = \mathbf{A} \begin{bmatrix} x \\ y \\ 1 \end{bmatrix} = \begin{bmatrix} a_{11} & a_{12} & a_{13} \\ a_{21} & a_{22} & a_{23} \\ 0 & 0 & 1 \end{bmatrix} \begin{bmatrix} x \\ y \\ 1 \end{bmatrix}$$

Puede escalar, rotar, mover o estirar una imagen.

Transformation Name	Affine Matrix, \mathbf{A}	Coordinate Equations	Example
Identity	$\begin{bmatrix} 1 & 0 & 0 \\ 0 & 1 & 0 \\ 0 & 0 & 1 \end{bmatrix}$	$x' = x$ $y' = y$	
Scaling/Reflection (For reflection, set one scaling factor to -1 and the other to 0)	$\begin{bmatrix} c_x & 0 & 0 \\ 0 & c_y & 0 \\ 0 & 0 & 1 \end{bmatrix}$	$x' = c_x x$ $y' = c_y y$	
Rotation (about the origin)	$\begin{bmatrix} \cos \theta & -\sin \theta & 0 \\ \sin \theta & \cos \theta & 0 \\ 0 & 0 & 1 \end{bmatrix}$	$x' = x \cos \theta - y \sin \theta$ $y' = x \sin \theta + y \cos \theta$	
Translation	$\begin{bmatrix} 1 & 0 & t_x \\ 0 & 1 & t_y \\ 0 & 0 & 1 \end{bmatrix}$	$x' = x + t_x$ $y' = y + t_y$	
Shear (vertical)	$\begin{bmatrix} 1 & s_v & 0 \\ 0 & 1 & 0 \\ 0 & 0 & 1 \end{bmatrix}$	$x' = x + s_v y$ $y' = y$	
Shear (horizontal)	$\begin{bmatrix} 1 & 0 & 0 \\ s_h & 1 & 0 \\ 0 & 0 & 1 \end{bmatrix}$	$x' = x$ $y' = s_h x + y$	

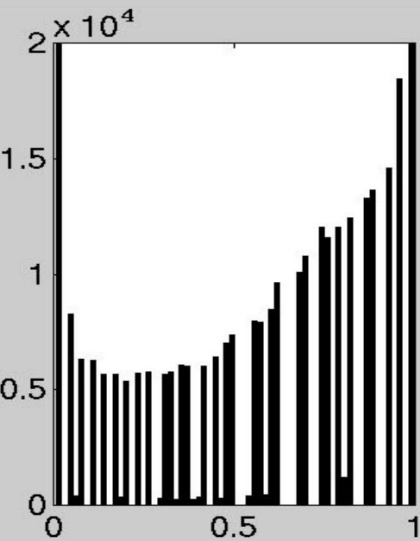
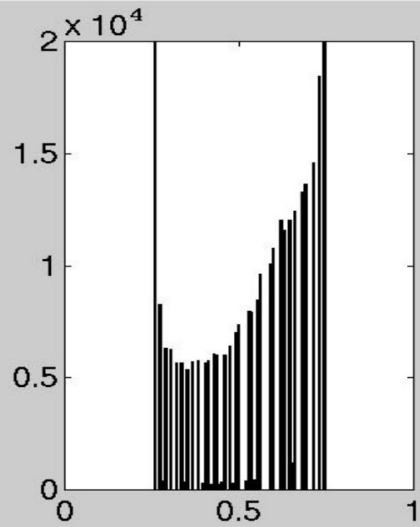
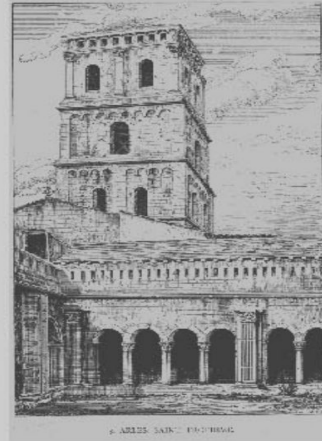
Histograma

Cada entrada del histograma se define como el “Número de píxeles con el valor de intensidad i ”

$$h(i) = \text{card} \{(u, v) | I(u, v) = i\}$$
$$0 \leq i < K$$

K = niveles de intensidad (depende de #bits)

- $h(0)$ es el número de píxeles con el valor 0
- $h(1)$ el número de píxeles con el valor 1
- y así sucesivamente



Transformaciones espaciales de intensidad

Pixel-a-pixel

$$s = T(r)$$

r = valor del píxel de entrada

s = valor del píxel de salida

T = operador sobre una
vecindad de 1x1

La transformación es independiente
de la ubicación; depende solo de la
intensidad del pixel

De vecindario

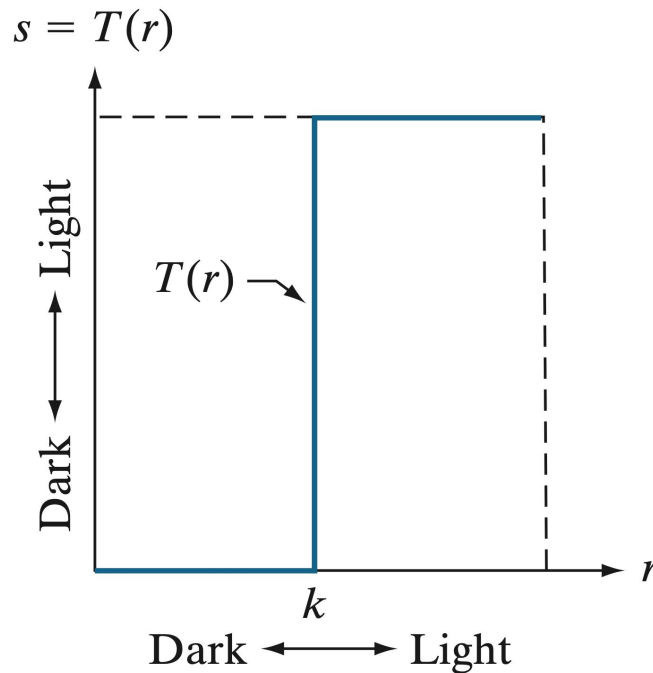
$$g(x, y) = T[f(x, y)]$$

f (x, y) = imagen de entrada

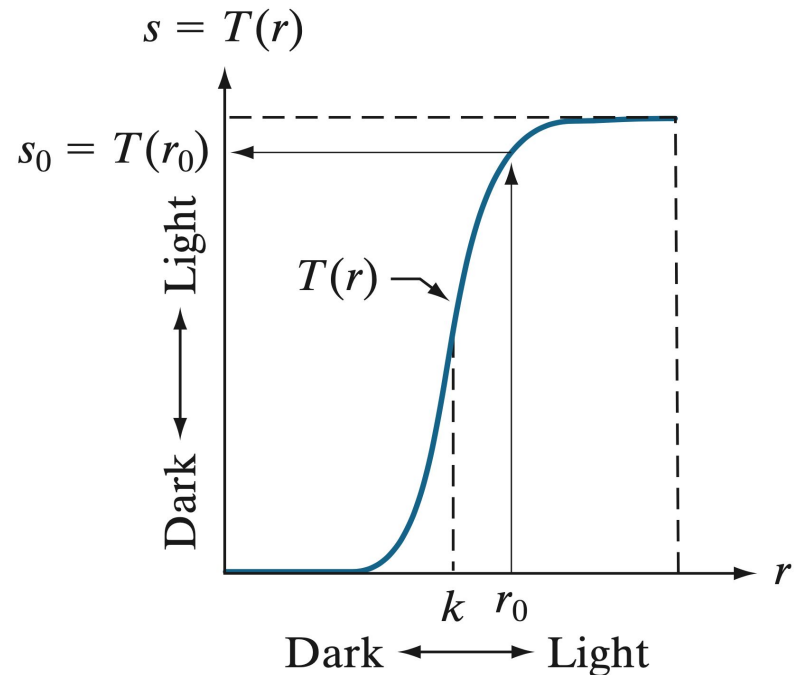
g(x, y) = imagen de salida

T = operador en f definido sobre
una vecindad del punto (x, y)

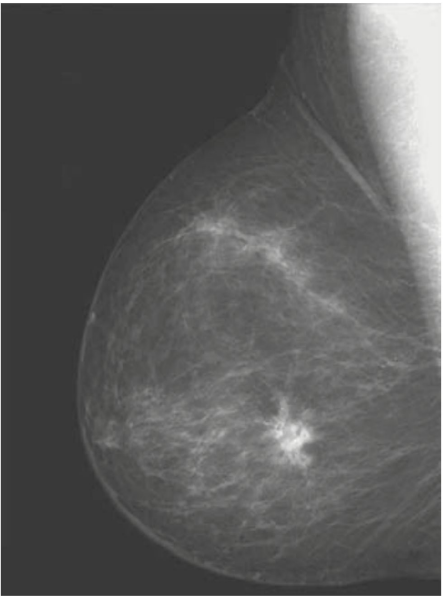
1. Umbralización



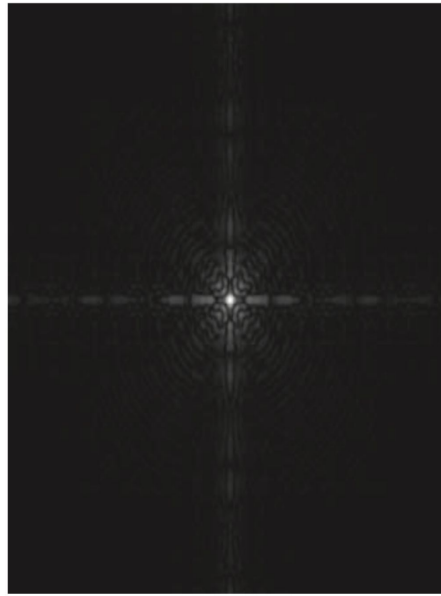
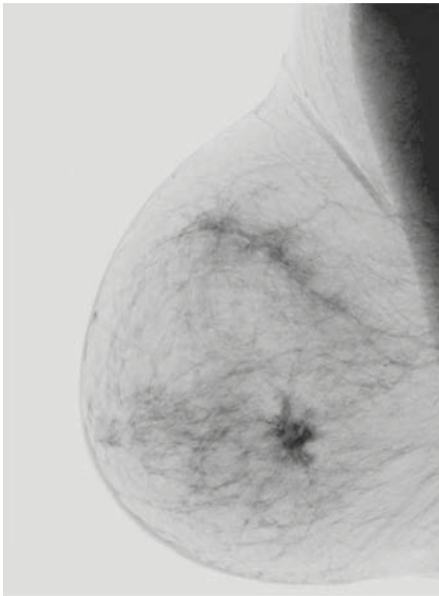
2. Mejoramiento de contraste



- Las T.I. son técnicas simples de procesamiento de imágenes
- Implementadas normalmente a través de Look-Up-Tables (LUT)



Negativa

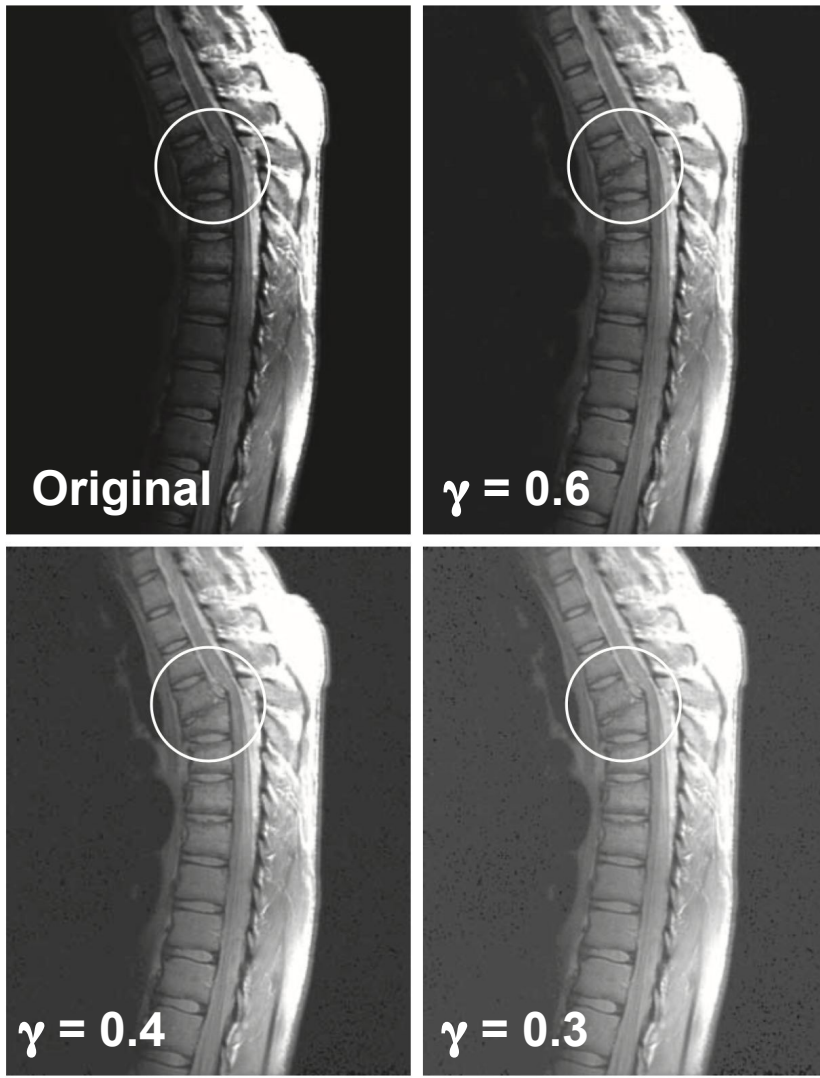
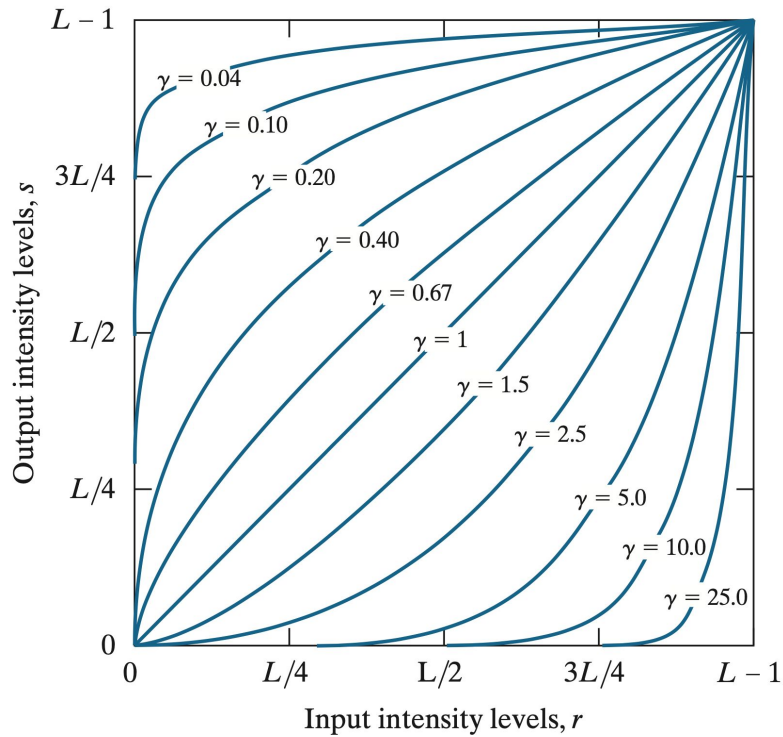


Logarítmica ($c=1$)

Corrección Gamma $s = cr^\gamma$

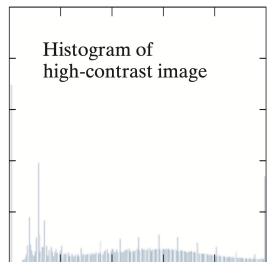
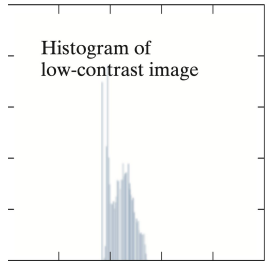
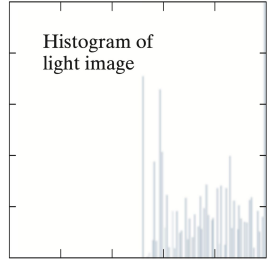
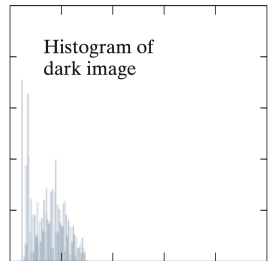
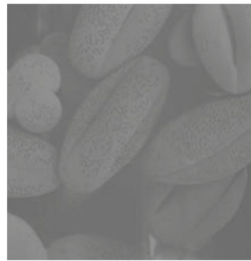
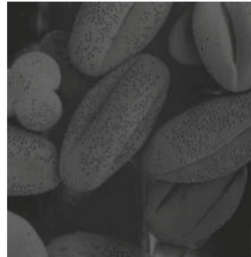
$\gamma < 1$: Mejora áreas oscuras

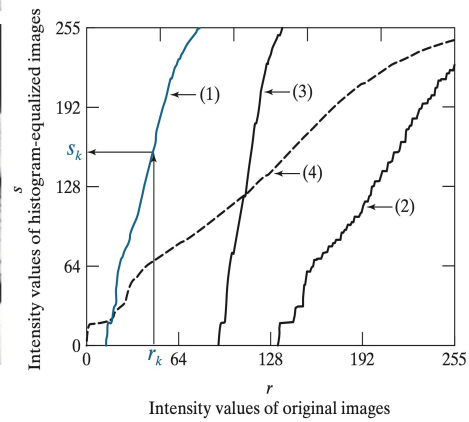
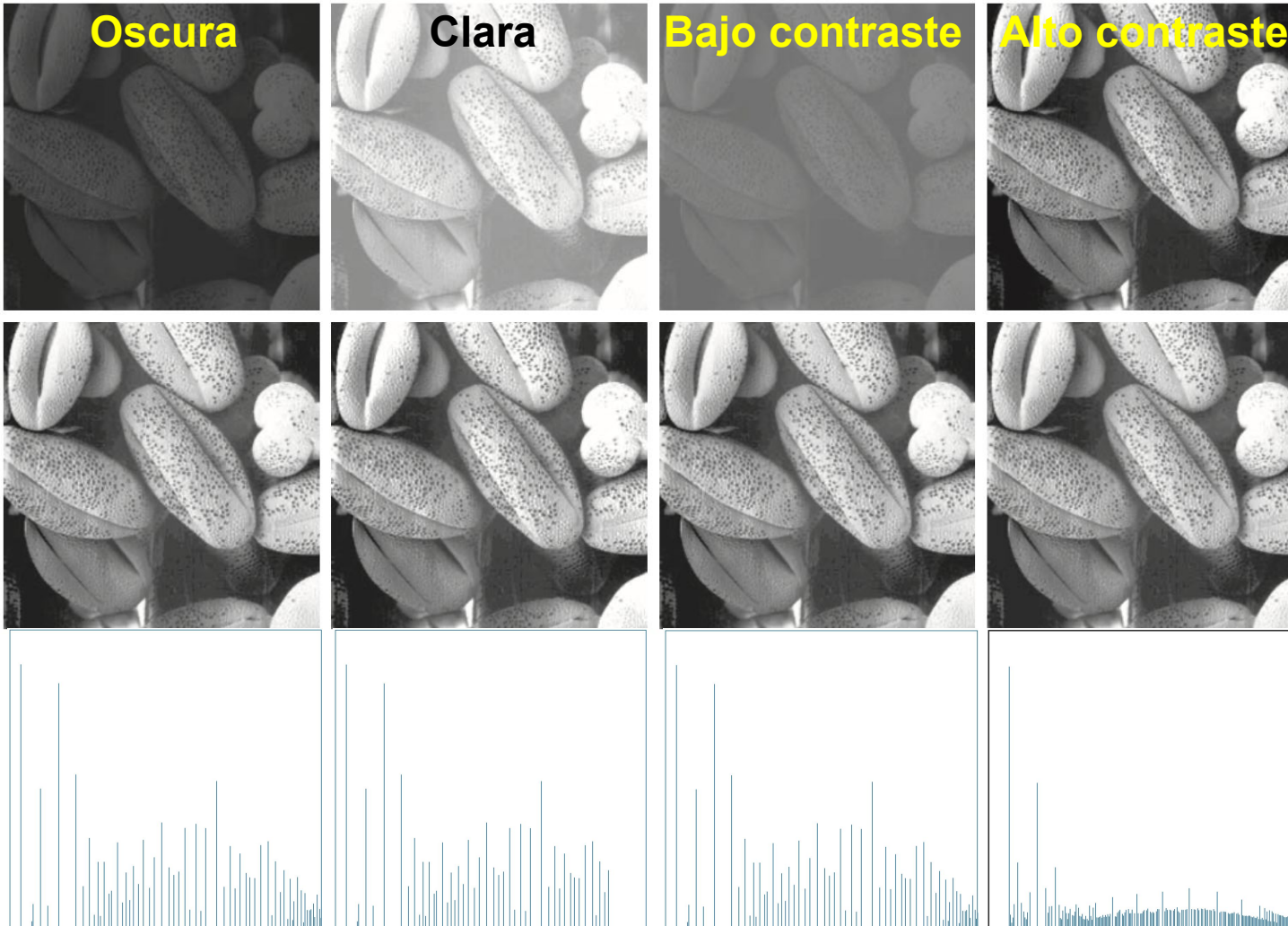
$\gamma > 1$: Mejora áreas brillantes



Ecualización del histograma

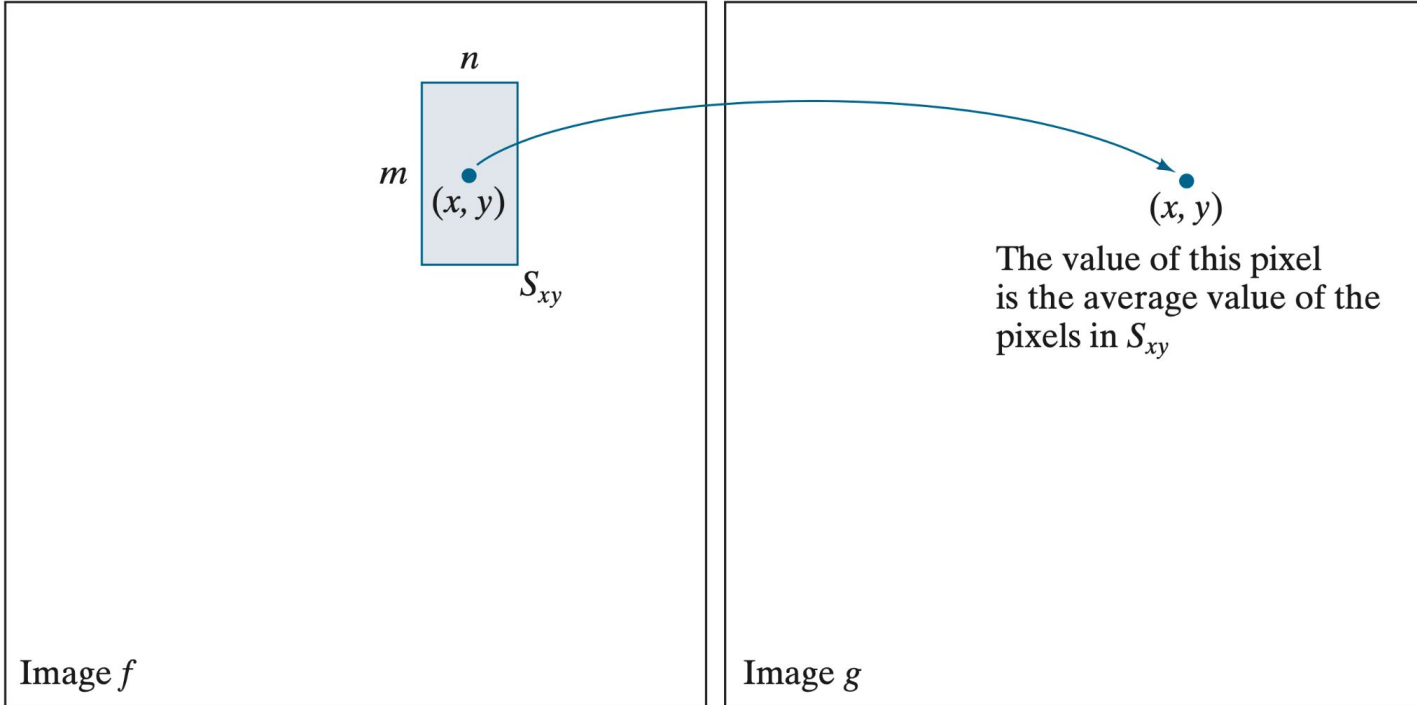
- Imágenes claras, oscuras y de bajo contraste tienen **histogramas concentrados**.
- Imágenes con histogramas uniformes
 - Contienen toda la gama de valores de gris
 - Tienen alto contraste
 - Mejor apariencia visual general





Transformaciones de vecindario (Convolución)

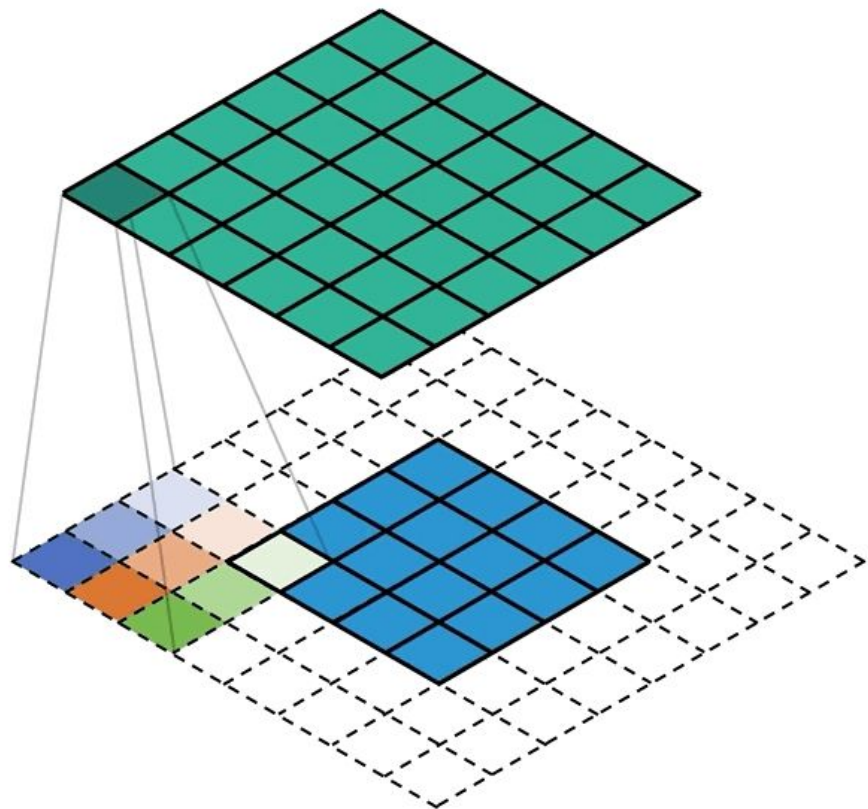
Transformaciones de vecindario



$$g(x, y) = \frac{1}{mn} \sum_{(r, c) \in S_{xy}} f(r, c)$$

Convolución 2D

$$g(x,y) = h(x,y) \circledast f(x,y)$$

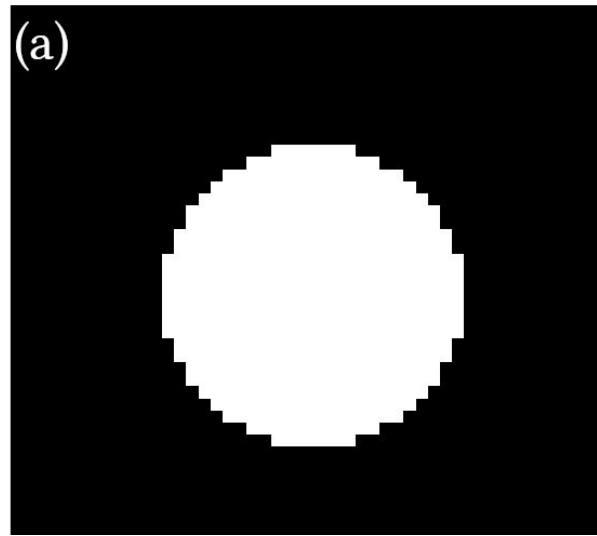


3 ₀	3 ₁	2 ₂	1	0
0 ₂	0 ₂	1 ₀	3	1
3 ₀	1 ₁	2 ₂	2	3
2	0	0	2	2
2	0	0	0	1

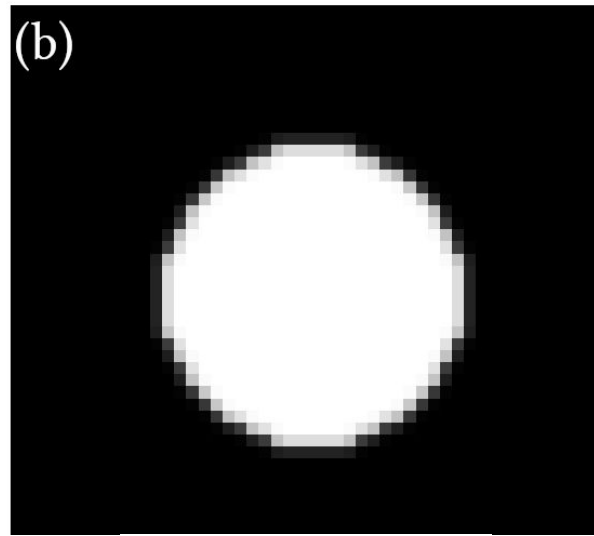
12.0	12.0	17.0
10.0	17.0	19.0
9.0	6.0	14.0

Filtrado lineal (Desenfoque = Bajas frecuencias)

Original Image



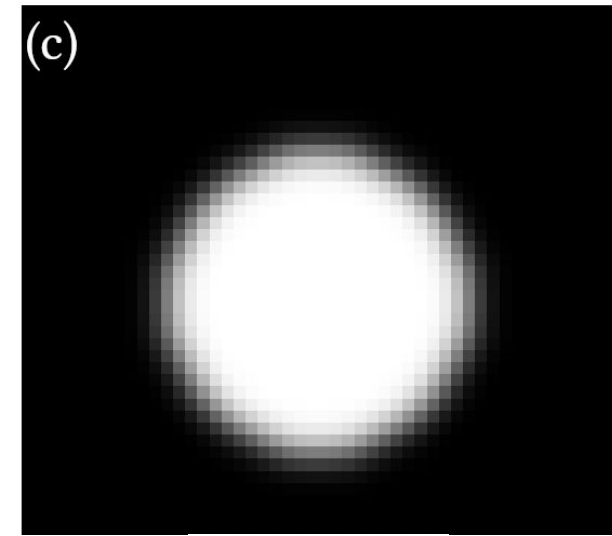
Convolution with 3×3 Kernel



$$\frac{1}{9}$$

1	1	1
1	1	1
1	1	1

Convolution with 20×20 Kernel



$$\frac{1}{20}$$

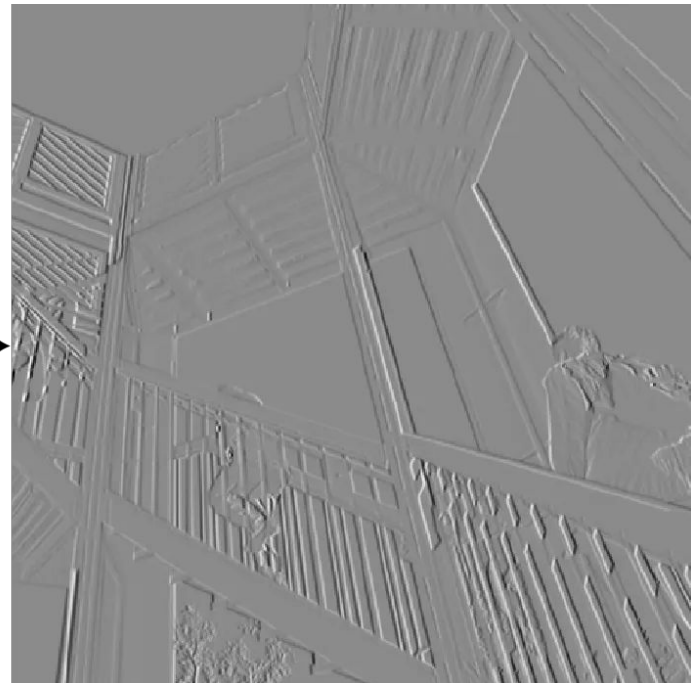
1	1	1	1	1	1	1	1	1	1	1	1	1	1	1	1	1	1	1	1
1	1	1	1	1	1	1	1	1	1	1	1	1	1	1	1	1	1	1	1
1	1	1	1	1	1	1	1	1	1	1	1	1	1	1	1	1	1	1	1
1	1	1	1	1	1	1	1	1	1	1	1	1	1	1	1	1	1	1	1
1	1	1	1	1	1	1	1	1	1	1	1	1	1	1	1	1	1	1	1
1	1	1	1	1	1	1	1	1	1	1	1	1	1	1	1	1	1	1	1
1	1	1	1	1	1	1	1	1	1	1	1	1	1	1	1	1	1	1	1
1	1	1	1	1	1	1	1	1	1	1	1	1	1	1	1	1	1	1	1
1	1	1	1	1	1	1	1	1	1	1	1	1	1	1	1	1	1	1	1
1	1	1	1	1	1	1	1	1	1	1	1	1	1	1	1	1	1	1	1
1	1	1	1	1	1	1	1	1	1	1	1	1	1	1	1	1	1	1	1
1	1	1	1	1	1	1	1	1	1	1	1	1	1	1	1	1	1	1	1
1	1	1	1	1	1	1	1	1	1	1	1	1	1	1	1	1	1	1	1
1	1	1	1	1	1	1	1	1	1	1	1	1	1	1	1	1	1	1	1

Filtrado lineal (Bordes = Altas frecuencias)

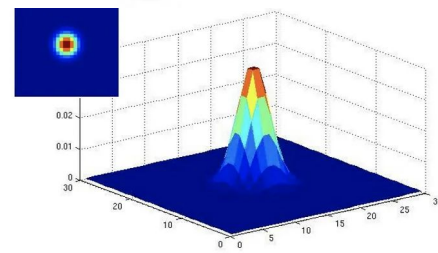


$$\begin{bmatrix} +1 & 0 & -1 \\ +2 & 0 & -2 \\ +1 & 0 & -1 \end{bmatrix}$$

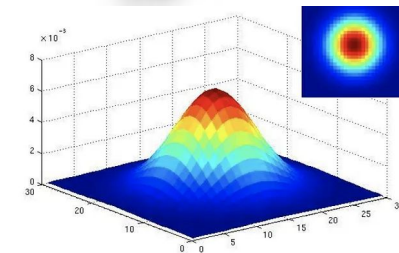
Horizontal Sobel kernel



Filtro que representa un Lente = Gaussian Kernel



$\sigma = 2$ with 30×30 kernel

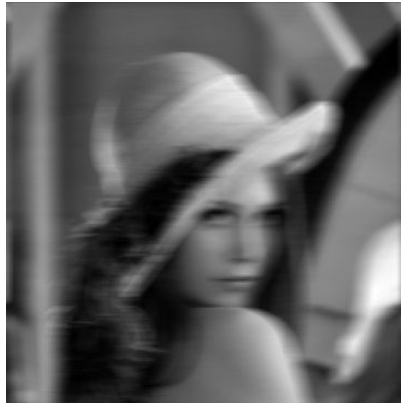


$\sigma = 5$ with 30×30 kernel

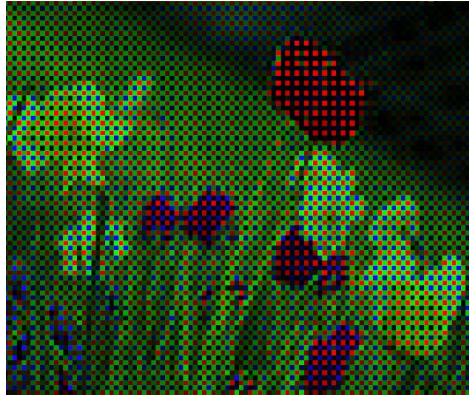
Problemas a Resolver

- 1.Demosaicking
- 2.Deconvolution/Deblurring
- 3.Denoising

Deconvolution



Demosaicking



Denoising

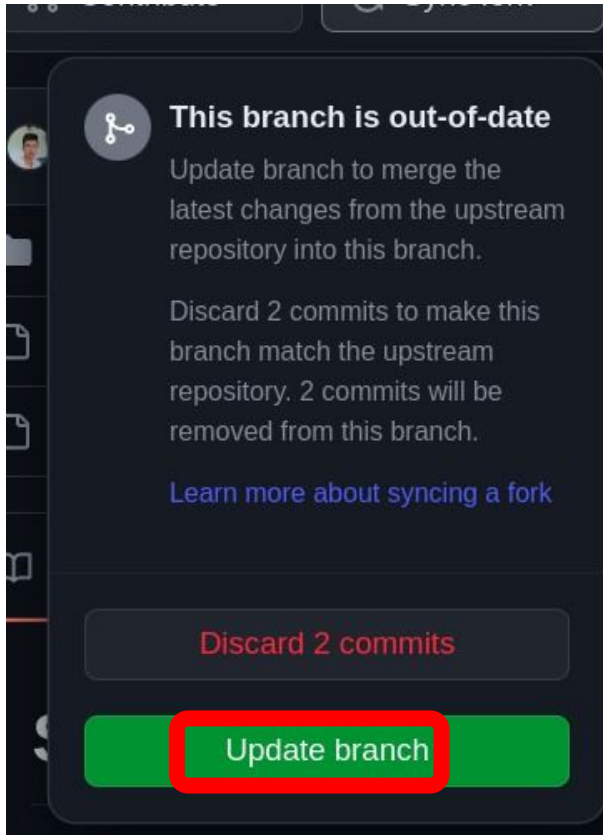


Hands-on: Transformaciones y Demosaicing

Actualicemos el repositorio!

A screenshot of a GitHub repository page. At the top, there are navigation links: 'main' (with a dropdown arrow), '1 Branch' (with a dropdown arrow), '0 Tags' (with a dropdown arrow). To the right are search bar ('Go to file'), a user icon ('t'), 'Add file' (with a dropdown arrow), and a green 'Code' button. Below this, a message states: 'This branch is 2 commits ahead of, 3 commits behind semilleroCV/Hands-on-Computer-Vision:main.' At the bottom left, there are two buttons: 'Contribute' (with a dropdown arrow) and 'Sync fork' (with a dropdown arrow). The 'Sync fork' button is highlighted with a thick red border.

Actualicemos el repositorio!



Abrelo en colab usando “githubtocolab”

🔗 <https://github.com/semilleroCV/Hands-on-Computer-Vision/blob/main/Sesiones/Sesion1/Exercise1.ipynb>



Agrega la palabra “tocolab” y da ENTER

🔍 <https://githubtocolab.com/semilleroCV/Hands-on-Computer-Vision/blob/main/Sesiones/Sesion1/Exercise1.ipynb>

Next
Week

SESIÓN 3: DEEP LEARNING

